

## บทที่ 2

### ทฤษฎีและสรุปสาระสำคัญจากเอกสารที่เกี่ยวข้อง

ทฤษฎีที่ใช้ในการคาดคะเนการทรุดตัวของเสาเข็มมีหลายวิธี ในแต่ละวิธีมีสมมุติฐานและวิธีการที่แตกต่างกันไป ในบทนี้จะกล่าวถึงทฤษฎีที่ใช้ในการคาดคะเนการทรุดตัววิธี Terzaghi (1967) วิธี Broms (1984) วิธี Poulos and Davis (1980) วิธี Asaoka (1978) และ วิธีไวน์เตอร์เมนต์ นอกจากนี้จะกล่าวถึงเอกสารที่เกี่ยวข้องและงานวิจัยในอดีตที่ได้ศึกษาการทรุดตัวของดินคันทางที่ปรับเปลี่ยนรากด้วยเสาดินซึ่งเมนต์

#### 2.1 ทฤษฎีการคาดคะเนการทรุดตัว

##### 2.1.1 การคาดคะเนการทรุดวิธี Terzaghi (1967)

วิธีการวิเคราะห์ของ Terzaghi จะใช้พลากรากการทดสอบอัคตัวคายน้ำ (Consolidation Test) อาศัยหลักการพื้นฐานที่ว่าส่วนช่องว่าง (Void Ratio) ใดจะมีค่าหน่วยแรงประสิทธิผล (Effective Stress) ได้มากที่สุดเพียงค่าเดียวเท่านั้น ซึ่งเป็นหน่วยแรงที่เกิดขึ้นจากหน่วยแรงระหว่างเม็ดดินหากมีแรงกดจากภายนอกกระทำต่อมวลดิน อันเป็นผลที่ทำให้ดินไม่สามารถอัดได้ที่อัตราส่วนช่องว่างขณะนั้น แรงส่วนเกินกว่าดินจะรับได้ จะถูกนำ去ท่อญี่ปุ่นภายในช่องว่างระหว่างเม็ดดินรับไว้ แรงดันน้ำในช่องว่างนี้จะไหลออกไปจากช่องว่างระหว่างเม็ดดินด้วยผลของการแตกต่างระหว่าง Total Head ของน้ำในช่องว่างกับบริเวณที่อยู่รอบๆทำให้เกิดการทรุดตัวของชั้นดิน และจะสิ้นสุดลงเมื่อน้ำในโพรงเพิ่มลดลงจนหมด ซึ่งสมการที่ใช้ในการคำนวณแสดงได้ดังต่อไปนี้คือ

$$S_c = \frac{\Delta e}{1 + e_0} H \quad (2.1)$$

เมื่อ

$S_c$  = การทรุดตัวแบบอัคตัวคายน้ำ (Primary Consolidation Settlement)

$e_0$  = อัตราส่วนช่องว่างเริ่มต้น (Initial Void Ratio)

$\Delta e$  = อัตราส่วนช่องว่างที่เปลี่ยนแปลงไป (Change in void ratio)

$H$  = ความหนาของชั้นดิน (Thickness of stratum)

### Normally Consolidated Clay

$$S_c = CR H \log \left( \frac{\sigma' V_f}{\sigma' V_0} \right) \quad (2.2)$$

Overconsolidated Clays ( $\sigma' V_f < \sigma' V_m$ )

$$S_c = RR H \log \left( \frac{\sigma' V_f}{\sigma' V_0} \right) \quad (2.3)$$

Overconsolidated Clays ( $\sigma' V_0 < \sigma' V_m < \sigma' V_f$ )

$$S_c = H \left[ RR \log \left( \frac{\sigma' V_m}{\sigma' V_0} \right) + CR \log \left( \frac{\sigma' V_f}{\sigma' V_m} \right) \right] \quad (2.4)$$

เมื่อ      RR      = อัตราส่วนอัดแน่นซ้ำ (Recompression Ratio)

$$= C_r / (1 + e_0) \quad (2.4.1)$$

CR      = อัตราส่วนอัดแน่น (Compression Ratio)

$$= C_c / (1 + e_0) \quad (2.4.2)$$

= หน่วยแรงประดิษฐ์ผลสูงสุดในอดีต (Maximum Past Pressure)

$\sigma' V_f$       = หน่วยแรงประดิษฐ์ผลในแนวคิ่งท้ายสูด (Final Vertical Effective Stress)

$\sigma' V_0$       = หน่วยแรงประดิษฐ์ผลในแนวคิ่งตามธรรมชาติ (In-situ)

Vertical Effective Stress)

$C_r$       = Recompression Index

$C_c$       = Compression Index

การพิจารณาหน่วยแรงที่เพิ่มขึ้นในดินเนื่องจากน้ำหนักโครงสร้างใช้วิธี 2 : 1 (แนวคิ่ง: แนวราบ) ดังรูปที่ 2.1 โดยให้น้ำหนักบรรทุกเริ่มกระทำที่ระยะความลึก  $L' = 2/3L$  จากส่วนบนของเสาเพิ่มเติมกว่าขาลงสูดิน

Terzaghi and Peck (1967) เสนอทฤษฎีสำหรับความเครียดและน้ำไหลดอกจากดินในลักษณะ 1 มิติ

$$\text{โดย } T_v = \frac{c_v t}{H^2} \quad (2.5)$$

เมื่อ  $T_v$  = Time Factor

$$= \frac{\pi}{4} U_v^2 \quad (U_v < 60\%) \quad (2.5.1)$$

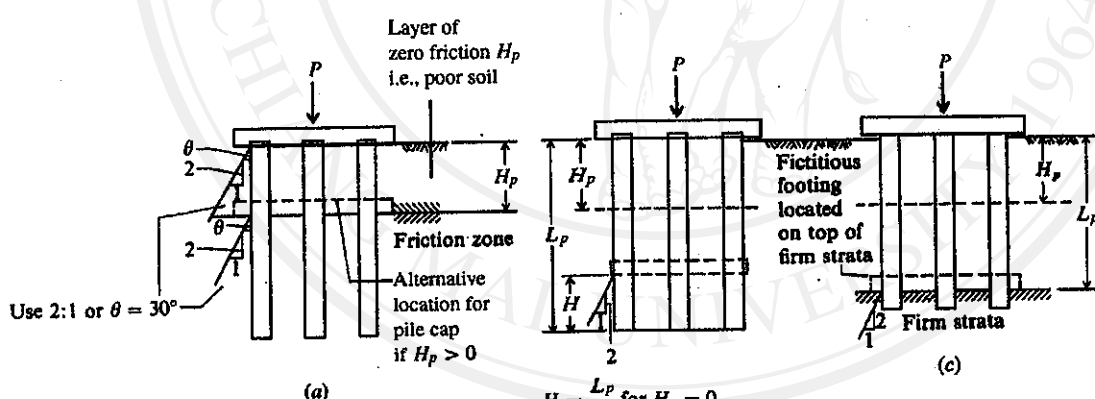
$$= -0.933 \log(1-U_v) - 0.0851 \quad (U_v \geq 60\%) \quad (2.5.2)$$

$U_v$  = Degree of Consolidation

$c_v$  = สัมประสิทธิ์การอัดตัวคายนำในแนวตั้ง (Coefficient of Vertical Consolidation)

$H$  = ความยาวของเส้นทางระบายน้ำ (Drained Path)

$t$  = ระยะเวลาการทรุดตัว



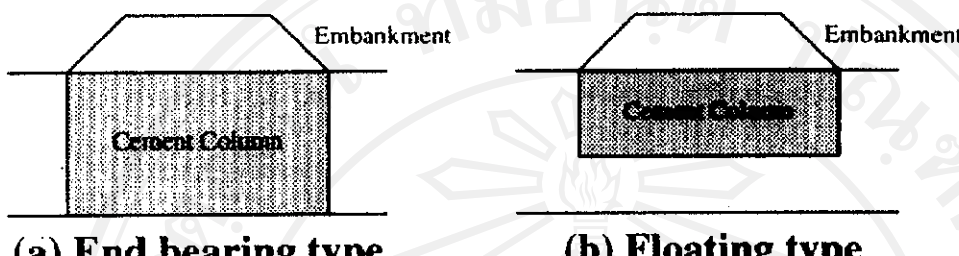
รูปที่ 2.1 แสดงการกระจายของหน่วยแรงที่เพิ่มขึ้นในดินเนื่องจากน้ำหนักโครงสร้าง

ที่มา : Bowles (1996)

### 2.1.2 การคาดคะเนการทรุดตัววิธี Broms (1984)

การทรุดตัวของโครงสร้างที่รับน้ำหนักฐานรากที่ปรับปรุงแล้วภาพดินอ่อนด้วย เสาดินซึ่งมีความสามารถแบ่งตามลักษณะก่อสร้างเป็น 2 ประเภท คือแบบเสาหัวเข็ม (End Bearing Type) และแบบเสาลอย (Floating Type) แสดงดังรูปที่ 2.2

ลักษณะของการก่อสร้างเสาดินซีเมนต์แบบเสาออย (Floating Type) ปลายของเสาดินซีเมนต์จะวางอยู่ในชั้นดินอ่อน (ปรับปูรุ่งไม่ตลอดความหนาของชั้นดิน) การทรุดตัวทั้งหมดประมาณได้จากผลกระทบการทรุดตัวในชั้นที่ปรับปูรุ่งคุณภาพด้วยเสาดินซีเมนต์ ( $\Delta h_1$ ) กับชั้นดินที่อยู่ได้การปรับปูรุ่งด้วยเสาดินซีเมนต์ ( $\Delta h_2$ )



(a) End bearing type

(b) Floating type

รูปที่ 2.2 ลักษณะการปรับปูรุ่งคุณภาพดินด้วยเสาดินซีเมนต์ของชั้นดินอ่อน

ที่มา : Misuo (1998)

การทรุดตัวในชั้นที่ปรับปูรุ่งคุณภาพ ( $\Delta h_1$ ) ขึ้นกับกำลังรับน้ำหนักบรรทุกประลัยของเสาดินเมื่อเกิดการถ้า (Creep)

กำลังรับน้ำหนักบรรทุกประลัย สามารถคำนวณได้จากการพิจารณากรณีเกิดการวินาศีที่เสาดินซีเมนต์ (Column Failure) จากแรงขีดเห็นี่ของวัสดุในแท่งเสาดินซีเมนต์และแรงด้านท่านเนื่องจากแรงดันด้านข้างที่กระทำต่อเสาดินซีเมนต์ ซึ่งไม่สามารถด้านท่านน้ำหนักที่แบนกรับได้ กำลังรับน้ำหนักบรรทุกประลัยสามารถหาได้จากการสมการ Mohr-Coulomb ดังนี้

$$Q_{ult, col} = A_{col} (3.5 c_{col} + 3 \sigma_h) \quad (2.6)$$

เมื่อ  $Q_{ult, col}$  = กำลังรับน้ำหนักบรรทุกประลัยของ Column

$A_{col}$  = พื้นที่หน้าตัดของ Column

$c_{col}$  = Cohesion of Column Materials

$\sigma_h$  = แรงดันด้านข้างแบบ Passive,  $K_p \gamma' H$  (2.6.1)

โดย  $K_p = \tan^2(45+\phi/2)$  (2.6.2)

$\gamma'$  = Effective Unit Weight

H = ความลึกของเสาเข็ม

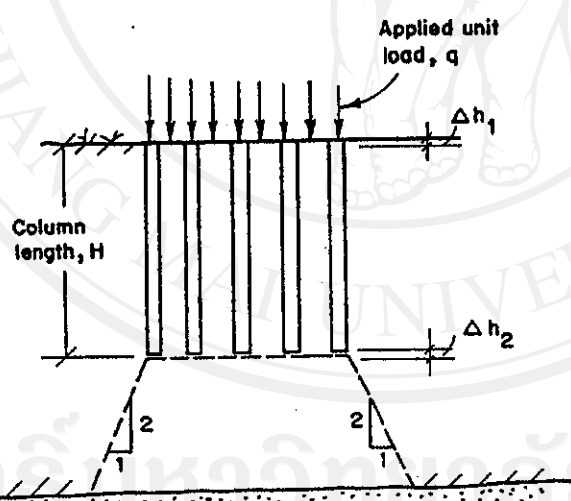
เมื่อเวลาภาระนาน (Long Term) กำลังรับน้ำหนักบรรทุกประดิษฐ์ของเสาดินซีเมนต์ (Ultimate Bearing Capacity,  $Q_{ult,col}$ ) จะลดลงเนื่องจากแรงขัดเหนี่ยวของวัสดุในแท่งเสาดินซีเมนต์เกิดการล้า (Creep) และการขยายตัว ทำให้กำลังรับน้ำหนักบรรทุกประดิษฐ์ของเสาดินซีเมนต์ มีค่าเป็น 0.65 - 0.80 ของ  $Q_{ult,col}$  ดังสมการ

$$Q_{creep,col} = (0.65 \text{ to } 0.80) Q_{ult,col} \quad (2.7)$$

เมื่อ

$$Q_{creep,col} = \text{กำลังรับน้ำหนักบรรทุกประดิษฐ์ของเสาดินซีเมนต์เมื่อเกิดการ Creep}$$

ในการถอดน้ำหนักกระทำต่อเสาดินซีเมนต์น้อยกว่าขนาด Creep Limit ของเสาดินซีเมนต์ สามารถคำนวณการทรุดตัวได้ตามลักษณะรูปที่ 2.3



รูปที่ 2.3 การทรุดตัวเมื่อ Column รับน้ำหนักน้อยกว่า Creep Strength

ที่มา : Broms (1984)

$$\Delta h_1 = \frac{q H}{a M_{col} + (1-a) M_{soil}} \quad (2.8)$$

เมื่อ	$\Delta h_1$	= ค่าการทรุดตัวของชั้นดินที่ปรับปรุงดินซีเมนต์
	$q$	= หน่วยแรงที่กระทำจากโครงสร้าง
	$H$	= ความลึกของชั้นดินที่ปรับปรุงดินซีเมนต์
	$M_{soil}$	= ค่า Compression Modulus ของดินรอบข้างเสาเดินซีเมนต์
	$M_{col}$	= ค่า Compression Modulus ของดินซีเมนต์

$$a = \frac{NA_{col}}{BL} \quad (2.8.1)$$

โดย	$N$	= จำนวนเสาเข็มดินซีเมนต์
	$A_{col}$	= พื้นที่หน้าตัดของเสาเข็มดินซีเมนต์
	$B$	= ความกว้างของกลุ่มเสาเข็มดินซีเมนต์
	$L$	= ความยาวของเสาเข็มดินซีเมนต์

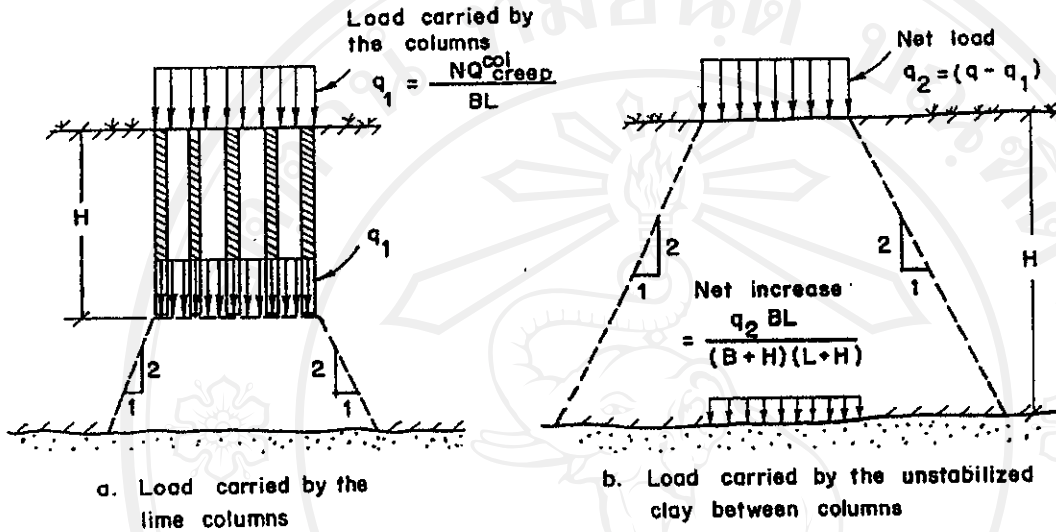
การทรุดตัวของชั้นดินที่อยู่ใต้ชั้นที่ปรับปรุงด้วยซีเมนต์ ( $\Delta h_2$ ) เกิดจากการกระจายของหน่วยแรงส่งถ่ายลงมา สามารถคำนวณค่าการทรุดตัวได้ โดยวิธีการอัดตัวคายน้ำมิติดียะ ตามทฤษฎีของ Terzaghi (1967)

กรณีนำน้ำออกกระทำการสูงกว่าขนาด Creep Limit ของเสาเดินซีเมนต์ สามารถคำนวณการทรุดตัวดังรูปที่ 2.4 โดยเสาเดินซีเมนต์จะแบ่งรับ  $q_1$  ขนาดเท่ากับ Creep Limit และ  $q_2$  จะแบ่งรับไว้ด้วยมวลดินระหว่างเสาเดินซีเมนต์แสดงดังรูปที่ 2.4

$$q_1 = \frac{NQ_{creep,col}}{BL} \quad (2.8.2)$$

$$q_2 = q - q_1 \quad (2.8.3)$$

การทรุดตัวของชั้นดินที่อยู่ใต้ชั้นที่ปรับปรุงด้วยซีเมนต์ ( $\Delta h_2$ ) เกิดจากการกระจายของหน่วยแรงส่งถ่ายลงมา สามารถคาดคะเนค่าการทรุดตัวไว้ได้ โดยวิธีการขัดตัวค่านี้มีติดเทียว ตามทฤษฎีของ Terzaghi (1967)



รูปที่ 2.4 การทรุดตัวเมื่อ Column รับน้ำหนักมากกว่า Creep Strength

ที่มา : Broms (1984)

การทรุดตัวต่างกัน (Differential Settlement) ระหว่างแควรของเสาดินซีเมนต์ที่อยู่ติดกันหากได้จากสั่นส่วนของค่าเฉลี่ยของหน่วยแรงเฉือนตามเส้นรอบรูปของกลุ่มเสาดินซีเมนต์ ( $\tau_{per}$ ) กับค่าโมดูลัสของแรงเฉือน (Shear Modulus) เฉลี่ยของดิน ( $G_{avg}$ ) ซึ่งแสดงความสัมพันธ์ในรูปของมุมเปลี่ยนแปลงดังนี้

$$\alpha = \frac{\tau_{per}}{G_{avg}} \quad (2.9)$$

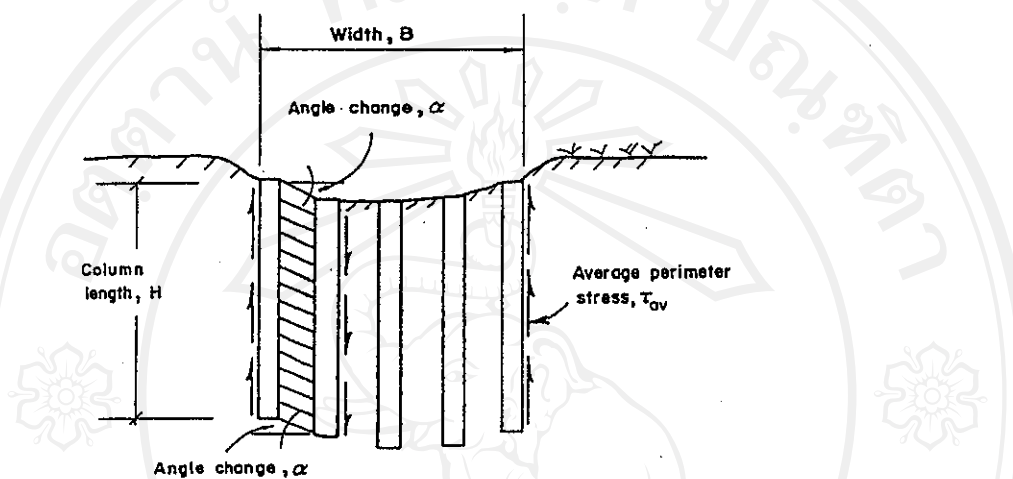
เมื่อ

$\alpha$  = มุมเปลี่ยนแปลงระหว่างการทรุดตัวของเสาดินซีเมนต์

$\tau_{per}$  = ค่าเฉลี่ยของหน่วยแรงเฉือนตามเส้นรอบรูปของกลุ่มเสาดินซีเมนต์

$$G_{avg} = \text{Shear Modulus} \text{ เฉลี่ยของดิน}, \frac{B}{B - mD} G_{soil} \quad (2.9.1)$$

โดย	B	= ความกว้างของกลุ่มเสาดินซีเมนต์
	m	= จำนวนแท่งของเสาดินซีเมนต์
	D	= เส้นผ่าศูนย์กลางของเสาดินซีเมนต์
	$G_{soil}$	= โมดูลัสของแรงเหยียบ (Shear Modulus) ของดินรอบเสาเดี่ยวในดินซีเมนต์



รูปที่ 2.5 การทรุดตัวที่ต่างกัน (Differential Settlement)  
ที่มา : Broms (1984)

Broms (1984) ใช้ไฟน์ต์เอลิเมนต์วิเคราะห์เสาดินซีเมนต์บริเวณรอบๆ ปลายเสาดินซีเมนต์ พบว่า มีการรับน้ำหนัก 20 - 30 เปอร์เซ็นต์ ที่เหลือจะรับน้ำหนักโดยส่วนของแรงตีด (Friction Term) 70 - 80 เปอร์เซ็นต์ ของน้ำหนักกระทำทั้งหมด ซึ่งจะถ่ายน้ำหนักไปยังมวลดินรอบ ๆ กลุ่มเสาดินซีเมนต์ตามแนวเส้นรอบฐานของกลุ่มเสาดินซีเมนต์ดังสมการ

$$\tau_{per} = \frac{0.8 Q}{2(B + L)H} \leq \frac{s_u}{F.S.} \quad (2.10)$$

เมื่อ	Q	= น้ำหนัก Embankment และน้ำหนักของ
	F.S.	= Factor of Safety at Least 1.3 - 1.5
	$s_u$	= ค่าเฉลี่ยกำลังรับแรงเหยียบของดิน
	B	= ความกว้างของ Cement Column Block

L = ความยาวของ Cement Column Block

H = ความยาวของ Cement Column

อัตราการทรุดตัว (Time Rate Settlement) ของคินบริเวณช่วงของการปรับปรุงคุณภาพด้วยเสาดินซีเมนต์สามารถประมาณได้ดังสมการที่ 2.11

$$U = 1 - \exp \left( \frac{-2c_{vh} t}{R^2 f(n)} \right) \quad (2.11)$$

เมื่อ U = Degree of Consolidation

$c_{vh}$  = Coefficient of Consolidation,  $M_{c,av} k_h / \gamma_w$  (2.11.1)

$k_h$  = ค่าสัมประสิทธิ์การซึมได้ในแนวราบของดินเหนียว

โดย  $M_{c,av} = a M_{col} + (1-a) M_{soil}$  (2.11.2)

t = Time of Consolidation

R = Radius of Influence of the Column, กรณีติดตั้งในลักษณะรูปสี่เหลี่ยมจัตุรัสเท่ากับ 0.56 S (Broms, 1999) (2.11.3)

S = Spacing

$$f(n) = \frac{n^2}{n^2 - 1} \left( \ln(n) - 0.75 + \frac{1}{n^2} \left( 1 - \frac{1}{4n^2} \right) \right) + \left( \frac{n^2 - 1}{n^2} \right) \left( \frac{k_{clay}}{k_{col}} \right) \left( \frac{L_{col}^2}{r^2} \right) \quad (2.12)$$

โดย  $n = R/r$  (2.12.1)

$r$  = รัศมีของเสาดินซีเมนต์

$k_{clay}$  = ค่าสัมประสิทธิ์การซึมของดิน ( $k_h$ )

$k_{col}$  = ค่าสัมประสิทธิ์การซึมของดินซีเมนต์

$L_{col}$  = ความยาวของเสาดินซีเมนต์ กรณีที่ระยะน้ำด้านเดียวเท่ากับ  $L_{col}$   
กรณีที่ระยะน้ำ 2 ด้านเท่ากับ  $L_{col}/2$

### 2.1.3 การคาดคะเนการทรุดตัววิธี Poulos and Davis (1980)

#### ก. การทรุดตัวของเสาเข็มเดี่ยว (*Settlement of Single Pile*)

สมการสำหรับหาค่าการทรุดตัวของเสาเข็มโดยใช้ Numerical Method พิจารณาเสาเข็มเป็น Incompressible Pile ใน Half-Space และมีค่าปรับแก้สำหรับอิทธิพลอื่นๆ ที่มีผลการบูรณาดัดตัวของเสาเข็มที่มีค่า Young's Modulus ของดินคงที่และค่า Poisson's Ratio ;  $V = 0.5$  ดังนี้

#### ข. เสาเข็มลอย (*Floating Pile*)

ความยาวเสาเข็มมีความยาวน้อยกว่าความหนาของชั้นดินอ่อนสามารถคำนวณค่าการทรุดตัวได้ดังนี้

$$\rho_f = \frac{PI}{E_s D} \quad (2.13)$$

เมื่อ

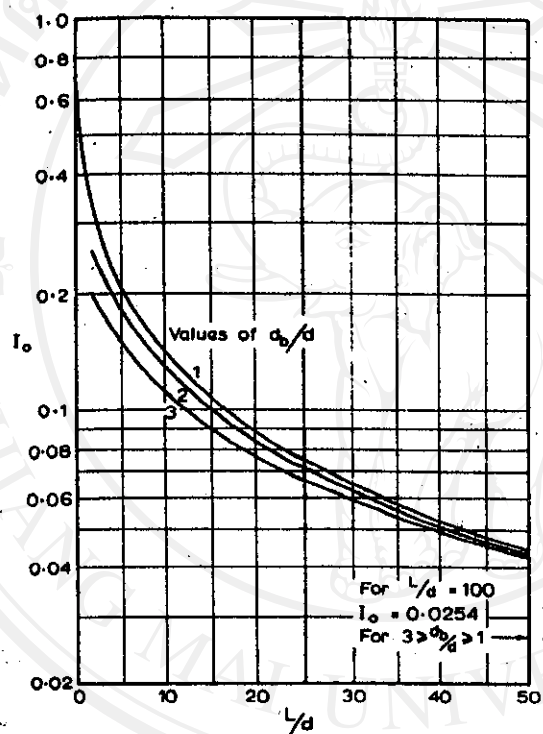
- $\rho_f$  = การทรุดตัวของเสาเข็มแบบลอย
- $I$  =  $I_o R_k R_h R_v$  (2.13.1)
- $I_o$  = ค่าปรับแก้สำหรับ Incompressible Pile in Seminfinite
- $R_h$  = ค่าปรับแก้สำหรับ Finite Depth ของชั้น Rigid Base
- $R_k$  = ค่าปรับแก้สำหรับ Pile Compressibility
- $R_v$  = ค่าปรับแก้สำหรับ Poisson's Ratio
- $V$  = Poisson's Ratio
- $h$  = ความหนาของชั้นดิน
- $E_s$  = Young's Modulus ของดิน
- $D$  = เส้นผ่าศูนย์กลางของเสาเข็ม

#### ค. การทรุดตัวของเสาเข็มกลุ่ม (*Settlement of Pile Group*)

ในการศึกษาการทรุดตัวของเสาเข็มกลุ่มวิธีของ Poulos ได้จากการวิเคราะห์ผลกระทบของระหว่างเสาเข็ม 2 ตัน โดยเข้มแต่ละตันขนาดเท่ากัน และเป็นอิสระต่อ กัน (Free Standing) โดยที่แห่นหัวเข็ม (Pile Cap) ทำหน้าที่ควบคุมการทรุดตัวที่แตกต่างของเสาเข็มแต่ละตันในกลุ่มเท่านั้น

ผลที่ได้แสดงในรูปของ Interaction Factor ( $\alpha$ ) ซึ่งเป็นอัตราส่วนของค่าการทรุดตัวของเสาเข็มที่เพิ่มขึ้น เนื่องจากเสาเข็มซึ่งเคียงได้รับน้ำหนักต่อการทรุดตัวที่เกิดจากน้ำหนักบนเสาเข็ม

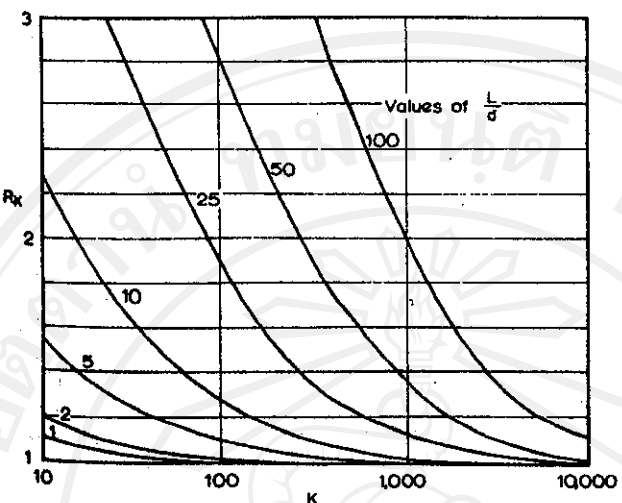
ค่า Interaction Factor ( $\alpha$ ) สำหรับเสาเข็มลอดหิน (Floating Pile) แสดงดังรูปที่ 2.1 - 2.13 ในกรณีที่ชั้นดินมีความลึกจำกัดสามารถปรับแก้ด้วย  $N_h$  (Correction Factor) ดังรูปที่ 2.14



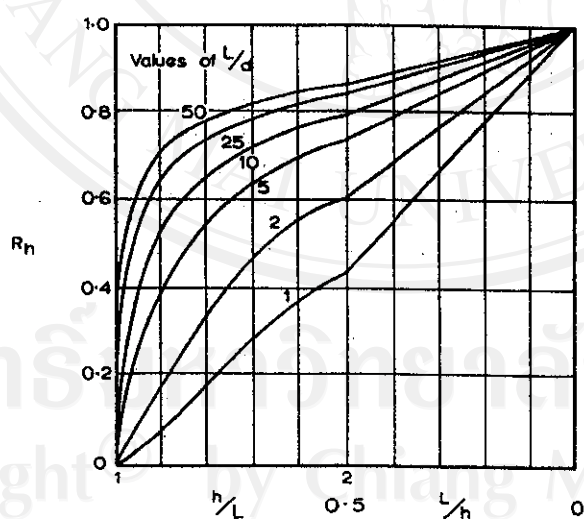
รูปที่ 2.6 แสดงค่า Settlement Influence Factor,  $I_o$

ที่มา : Poulos and Davis (1980)

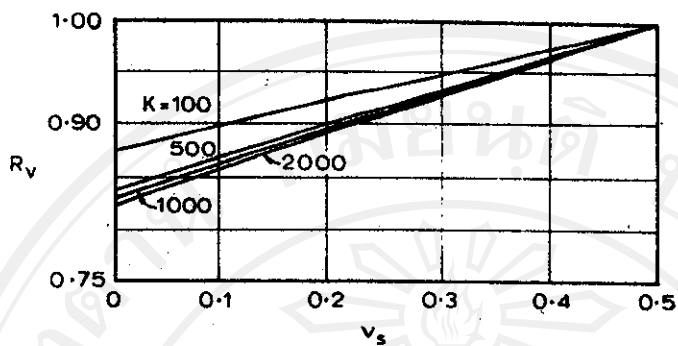
Copyright © by Chiang Mai University  
All rights reserved



รูปที่ 2.7 แสดงค่า Compressibility Correction Factor For Settlement,  $R_k$   
ที่มา : Poulos and Davis (1980)

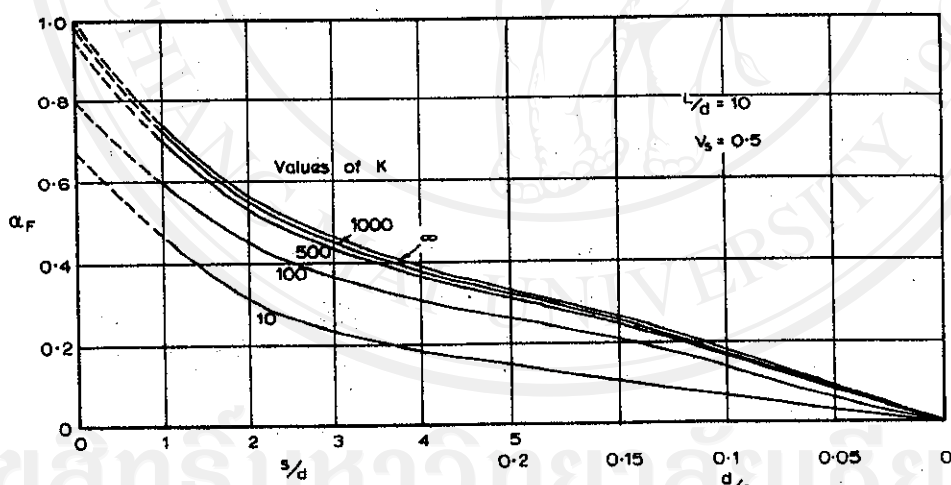


รูปที่ 2.8 แสดงค่า Depth Correction Factor for Settlement,  $R_h$   
ที่มา : Poulos and Davis (1980)



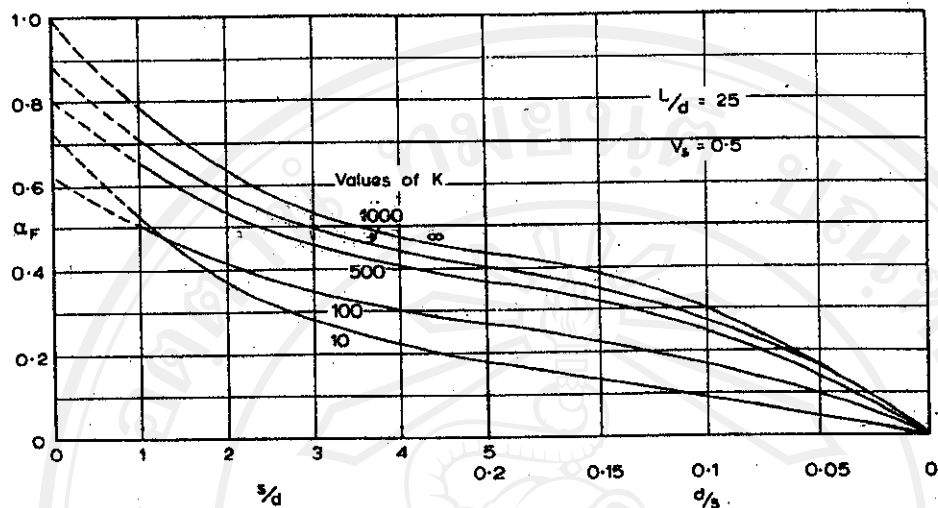
รูปที่ 2.9 แสดงค่า Poisson's Ratio Correction Factor for Settlemen,  $R_v$

ที่มา : Poulos and Davis (1980)



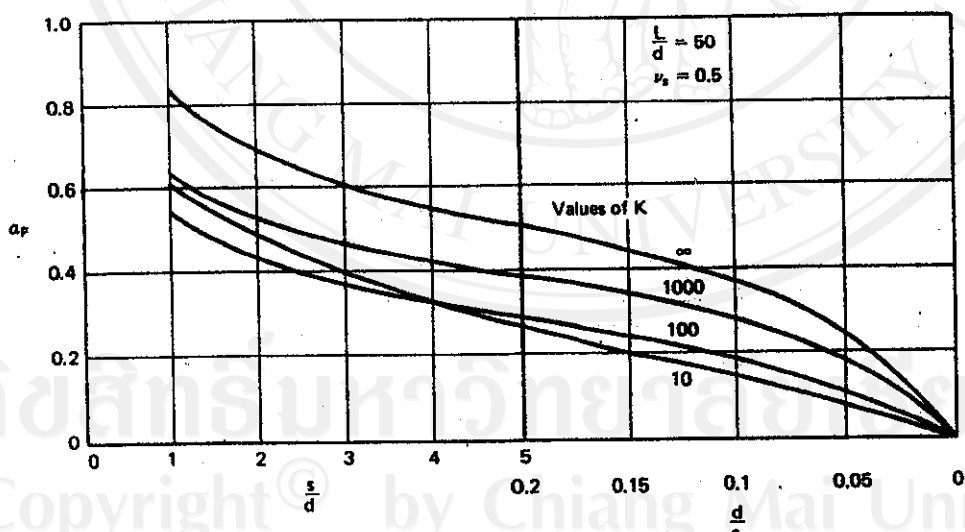
รูปที่ 2.10 แสดงความสัมพันธ์ของ  $L/d = 10$  กับ  $\alpha_F$

ที่มา : Poulos and Davis (1980)



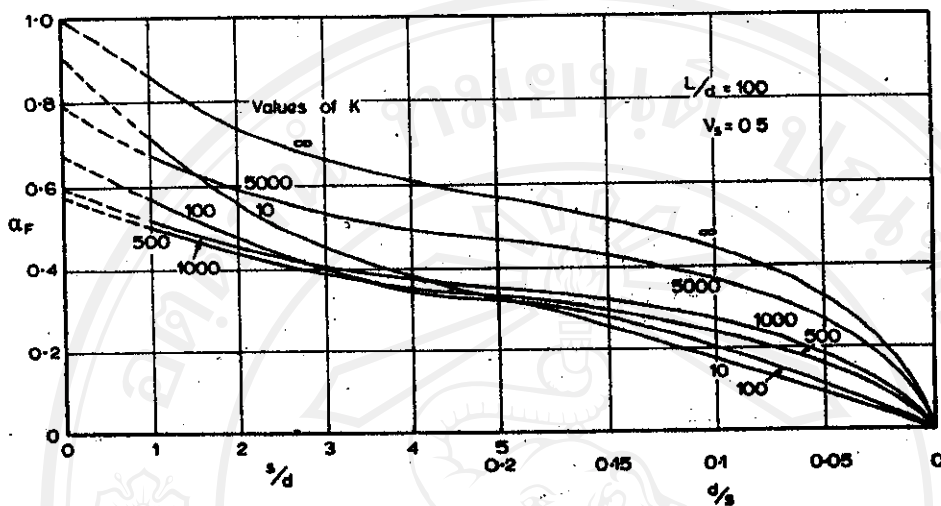
รูปที่ 2.11 แสดงความสัมพันธ์ของ  $L/d = 25$  กับ  $\alpha_F$

ที่มา : Poulos and Davis (1980)



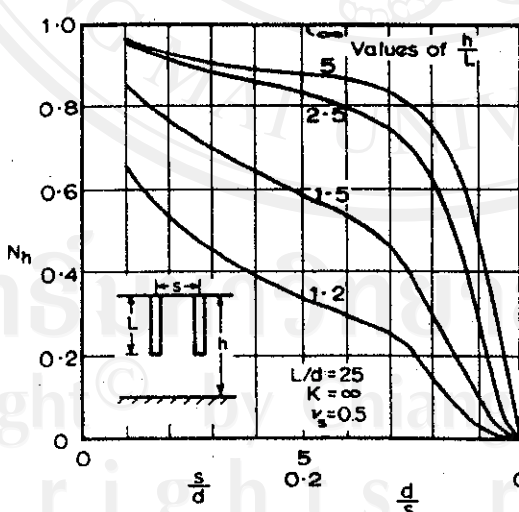
รูปที่ 2.12 แสดงความสัมพันธ์ของ  $L/d = 50$  กับ  $\alpha_F$

ที่มา : Poulos and Davis (1980)



รูปที่ 2.13 แสดงความสัมพันธ์ของ  $L/d = 100$  กับ  $\alpha_f$

ที่มา : Poulos and Davis (1980)



รูปที่ 2.14 แสดงความสัมพันธ์ของ  $L/d = 25$  กับ  $N_h$

ที่มา : Poulos and Davis (1980)

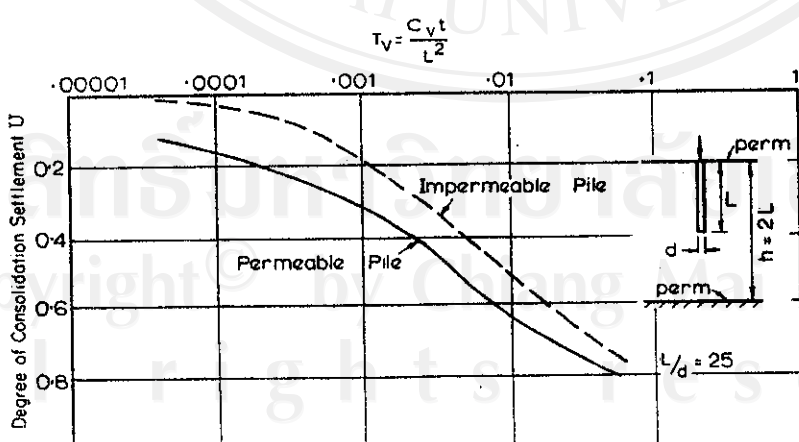
ค่าการทรุดตัวของเสาเข็มใดๆ ( $\rho_k$ ) ในกลุ่มเสาเข็มจำนวน  $n$  ตื้นสามารถหาได้จากการใช้ วิธี Superposition จากผลกราฟทบทองเสาเข็มข้างเคียง 2 ตื้น ได้ดังนี้

$$\rho_k = \rho_1 \sum_{\substack{j=1 \\ j \neq k}}^n (P_j \cdot \alpha_{kj}) + \alpha_1 P_k \quad (2.14)$$

เมื่อ

- $\rho_k$  = การทรุดตัวของเสาเข็มใดๆ
- $\rho_1$  = ค่าการทรุดตัวของเสาเข็มเดี่ยวเนื่องจากน้ำหนักกระทำ 1 หน่วย
- $P_j$  = น้ำหนักที่กระทำบนเสาเข็ม  $j$
- $\alpha_{kj}$  = Interaction factor ระหว่างเสาเข็ม  $k$  กับ  $j$
- $P_k$  = น้ำหนักที่กระทำบนเสาเข็มตื้น  $k$

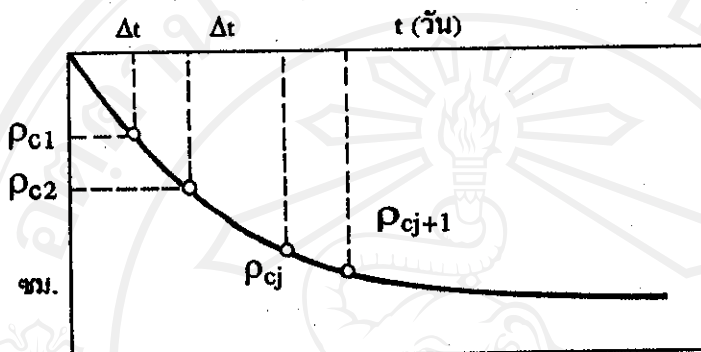
Poulos and Davis (1968) ได้ทำการวิเคราะห์อัตราการทรุดตัวของเสาเข็มซึ่งสามารถ ประมาณได้จากรูปที่ 2.15 จากการวิเคราะห์การเปลี่ยนแปลงของ  $L/d$  ช่วง 25 – 200 มีผลต่ออัตรา การทรุดตัวน้อย นอกจานี้การเปลี่ยนแปลงของ  $h/L$  ช่วง 5 – 1.5 มีผลต่ออัตราการทรุดตัวน้อย เช่นกัน ชั้นดินด้านล่างมีผลต่ออัตราการทรุดตัวน้อยมากทั้งชั้นดินที่เป็นชั้นทึบน้ำ และชั้นดินที่น้ำ สามารถซึมผ่านໄได้



รูปที่ 2.15 แสดงการประมาณอัตราการทรุดตัวของเสาเข็มเดี่ยว  
ที่มา : Poulos (1980)

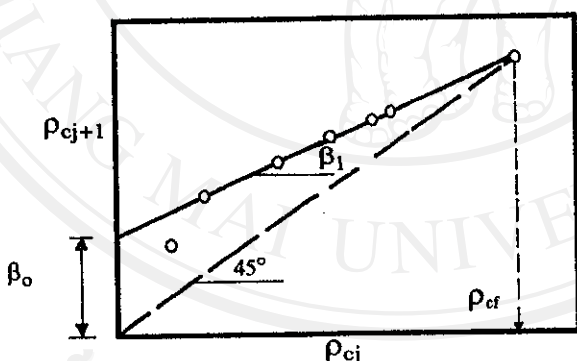
### 2.1.4 การคาดคะเนการทรุดตัววิธี Asaoka (1978)

Asaoka (1978) ได้เสนอวิธีการคาดคะเนการทรุดตัวสุดท้าย และอัตราการทรุดตัว โดยใช้ข้อมูลที่ได้จากการวัดค่าการทรุดตัว ในสนามที่ทำการทดสอบแล้วคำนวณย้อนกลับค่าสัมประสิทธิ์การทรุดตัวภายในแนวคิ่ง ( $c_v$ ) ในสนาม



รูปที่ 2.16 แสดงความสัมพันธ์ของค่าการทรุดตัวกับเวลาที่ได้จากสนาม

ที่มา : Asaoka (1978)



รูปที่ 2.17 กราฟการทรุดตัว

ที่มา : Asaoka (1978)

$$\rho + c_1 \rho^1 + c_2 \rho^2 + \dots + c_n \rho^{(n)} = C \quad (2.15)$$

เมื่อ  $\rho$  = ค่าการทรุดตัว,  $c_1, c_2, \dots, c_n$  และ  $C$  เป็นตัวคงที่ที่ไม่ทราบค่า

จัดสมการให้อยู่ในรูปสมการกำลังหนึ่ง

$$\rho + c_1 \rho^1 = C \quad (2.16)$$

แก้สมการโดยให้ข้อมูลเริ่มต้นเป็น

$$\rho(t=0) = \rho_0 \quad (2.17)$$

$$\rho(t=\infty) = \rho_f \quad (2.18)$$

$$\rho(t) = \rho_f - (\rho_f - \rho_0) \exp(-t/c_v) \quad (2.19)$$

ขั้นตอนการเป็น

$$\rho_i = \beta_0 + \beta_1 i \quad (2.20)$$

โดย  $\rho_i$  = ค่าการทรุดตัวที่เวลา  $t_i$ , เมื่อ  $i$  เป็นเลขจำนวนเต็มใดๆ

$\rho_{i-1}$  = ค่าการทรุดตัวที่เวลา  $t_{i-1}$

เมื่อ  $t = \infty$ ,  $\rho_i = \rho_{i-1} = \rho_f$  ได้ค่าการทรุดตัวสุดท้าย (Final Settlement),  $\rho_f$

$$\rho_f = \left( \frac{\beta_0}{1 - \beta_1} \right) \quad (2.21)$$

$\beta_0$  และ  $\beta_1$  เป็นค่าที่ได้จากการลากเส้นตรงผ่านจุดต่างที่เป็นข้อมูลค่าการทรุดตัว ค่า  $\rho_f$  จะเป็นค่าการทรุดตัวรวม (Total Settlement) และเป็นค่าการทรุดตัวเนื่องจากการอัดตัวขยาย ( $\rho_s$ ) เมื่อไม่รวมค่าการทรุดตัวในหันที ( $\rho_i$ ) การคาดคะเนการทรุดตัวโดยวิธีของ Asaoka นี้จะถูกต้องมากน้อยเพียงใดขึ้นอยู่กับช่วงกว้างของระยะเวลา  $\Delta t$

วิธีการของ Asaoka (1978) นี้ นอกจากจะคำนวณค่าการทรุดตัวแล้ว ยังสามารถคำนวณค่าสัมประสิทธิ์การอัดตัวขยายในแนวตั้ง ( $c_v$ ) จากสมการ

$$c_v = \frac{-\left[ \frac{5}{12} H^2 \ln \beta_1 \right]}{\Delta t} \quad (2.22)$$

เมื่อ  $c_v$  = ค่าสัมประสิทธิ์การอัดตัวขยายในแนวตั้ง

$H$  = ความยาวของเส้นทางระบายน้ำ (Drained Path)

$\beta_1$  = ค่า Slope ตามรูปที่ 2.17

$\Delta t$  = ช่วงเวลาที่แบ่ง (Time Interval)

### 2.1.5 การคาดคะเนการทรุดตัววิธีไฟไนต์เอลิเมนต์

วิธีไฟไนต์เอลิเมนต์ (Finite Element Method) เป็นวิธีวิเคราะห์ทางตัวเลข (Numerical method) ที่ใช้หลักการแบ่งโครงสร้างที่เป็นมวลต่อเนื่อง (Continuum) ออกเป็นหน่วยย่อย (Element) ที่มีรูปร่างและขอบเขตที่แน่นอน โดยแต่ละหน่วยย่อยจะมีจุด โงยช์ด กับหน่วยย่อย ข้างเคียง เรียกว่า โนนด (Nodes) ตัวแปรที่เกี่ยวข้องกับพฤติกรรมของโครงสร้าง (Field Variable) เช่น การเคลื่อนตัว อุณหภูมิ แรงดันน้ำ หรือหน่วยแรงดึง จะถูกสมมุติให้มี ลักษณะการกระจายตัวภายในหน่วยย่อย ในรูปของฟังก์ชันพหุนาม (Polynomial Functions)

สมการความสัมพันธ์ระหว่างการกระทำ (Actions) กับค่าตัวแปร (Field Variable) ที่โนนด ของแต่ละหน่วยย่อย จะถูกสร้างขึ้น และแสดงไว้ในรูปเมตริกซ์ (Matrix) ซึ่งเมตริกซ์นี้จะมีค่า เกณฑ์ ขึ้นกับรูปร่างของหน่วยย่อย และคุณสมบัติของวัสดุที่เกี่ยวข้อง ในหน่วยย่อยนั้นๆ เมื่อ นำเอาเมตริกซ์ของแต่ละหน่วยย่อยมาประกอบร่วมกัน จะได้เมตริกซ์ที่โนนดของโครงสร้างทั้ง ระบบ ซึ่งจะสามารถนำไปวิเคราะห์หาค่าตัวแปร (Field Variable) ที่ตำแหน่งใดๆ ในโครงสร้าง เมื่อโครงสร้างนั้นถูกกระทำ

การวิเคราะห์ปัญหาทางวิศวกรรม หรือเทคนิคด้วยวิธีไฟไนต์เอลิเมนต์ นั้นส่วนใหญ่จะ เป็นการวิเคราะห์หาความสัมพันธ์ระหว่างแรงกระทำกับการเคลื่อนตัว และวิเคราะห์หน่วยแรงที่ เกิดขึ้น ในตำแหน่งต่างๆ ของมวลคิน ขึ้นตอนที่สำคัญในการวิเคราะห์คือ การจำลองคุณสมบัติ ความสัมพันธ์ระหว่างแรงดึง และความเครียด (Stress–Strain Properties) ของมวลคินด้วยสมการ ทางคณิตศาสตร์ สำหรับนำไปใช้สร้างเป็นเมตริกซ์ของสมการความสัมพันธ์ระหว่างแรงกระทำกับ การเคลื่อนตัวที่โนนดต่างๆ ประสิทธิภาพในการวิเคราะห์ จะขึ้นกับการบีบนข้อมูล, ชนิดรูปแบบ จำลองทางคณิตศาสตร์ที่เลือกใช้, สภาพของขอบเขตเงื่อนไข (Boundary Condition) ต่างๆ และชนิด ของวัสดุที่เลือกใช้

#### ก. ส่วนประกอบของชุดโปรแกรม Plaxis

โปรแกรม PLAXIS เป็นชุดโปรแกรมที่ใช้วิธีไฟไนต์เอลิเมนต์ วิเคราะห์ปัญหา ด้านการ เคลื่อนตัวของคิน และหิน ที่มีโปรแกรมย่อยแทรกอยู่ ภายในอีก 4 โปรแกรม ที่ประกอบด้วย ส่วน ของ INPUT, CALCULATIONS, OUT PUT และ CURVE

หน่วยย่อย (Element) ที่ใช้ สามารถเลือกใช้ได้ 6 หรือ 15 โนนด เป็นแบบหน่วยย่อย รูป สามเหลี่ยม สำหรับวิเคราะห์ปัญหา 2 มิติ (Plane Strain or Axisymmetry) โดยใช้ อนุพันธ์ อันดับ

สองประมวลค่าการเคลื่อนตัว และผลรวมของหน่วยแรงทั้งสาม จุด จะพิจารณา เป็นหน่วยย่อของ stiffness เมตริกซ์ (Element Stiffness Matrix)

รูปร่าง (Geometry) สภาพเพื่อนำไปใช้ในสถานะ จะถูกสร้างจากส่วนของ Geometry Model ซึ่งประกอบด้วย จุดและเส้น การใส่ข้อมูลของจุดและเส้น จะต้องเป็นไปตามรูปแบบของไฟล์เอกสาร finite element model

Interfaces จะสร้างหรือสมมุติฐาน ให้แรงกิริยาปฏิสัมพันธ์ (Interaction) ระหว่างโครงสร้างกับดิน มีความสัมพันธ์กันตามโมเดลที่ใช้ การสร้างจะเนื่องส่วนของ Geometry Lines และคุณสมบัติของ Interface จะสัมพันธ์กันกำลังรับแรงของโครงสร้าง และกำลังรับแรงของดินรอบข้าง

Mesh Generation รูปร่างของโมเดลที่ใช้ จะถูกแบ่งออกเป็นหน่วยย่อย เพื่อใช้คำนวณ โดยส่วนประกอบของ Finite Element Mesh จะใช้ที่ 6 โหนด แบบหน่วยย่อยรูปสามเหลี่ยม หรือ 15 โหนด ซึ่งโปรแกรม PLAXIS จะทำการแบ่งหน่วยย่อยโดยอัตโนมัติ

Staged of Construction ขั้นตอนการคำนวณ จะอาศัยข้อมูลจากสถานะมาใช้เป็นหลัก โดยในขั้นตอนการก่อสร้างนี้สามารถเปลี่ยนคุณสมบัติของวัสดุได้ตลอดเวลา และสามารถเปลี่ยนสภาพของแรงดันน้ำที่เกิดขึ้นได้

## บ. แบบจำลองของวัสดุ (Material Model)

แบบจำลองของวัสดุที่ใช้ในโปรแกรม Plaxis จะอาศัยสมมุติฐานและพฤติกรรม ของดิน และโครงสร้างเป็นหลัก ประกอบด้วย

1. Linear Elastic Model อาศัยทฤษฎีของ Hook's Law แบบ Isotropic Linear Elasticity ซึ่งจะเกี่ยวกับตัวแปร 2 ตัวแปร คือ Elastic Stiffness หรือ เรียกว่า Young's modulus (E) และค่าอัตราส่วนปัวของ ( $\nu$ ) แบบจำลองนี้มีข้อจำกัดมากในการใช้ ทำนายพฤติกรรมของดิน

2. Mohr – Coulomb Model เป็นโมเดลที่นิยมใช้ทำนายพฤติกรรมของดิน มากที่สุดตัวแปรที่สำคัญในโมเดลนี้คือค่า Young's Modulus (E), ค่าอัตราส่วนปัวของ ( $\nu$ ), แรงขีดเหนี่ยวน ( $c$ ), นูนเสียดทานภายใน ( $\phi$ ), และค่ามูน Dilatancy ( $\psi$ )

3. Hardening Soil Model เป็นโมเดล ที่จำลอง พฤติกรรมของดินเป็นแบบ Elastoplastic ชนิด Hyperbolic ซึ่งจะใช้พิจารณาเกี่ยวกับแรงเสียดทานภายใน ของสภาพ Hardening Plasticity แบบจำลองชนิดนี้สามารถใช้ได้กับ พฤติกรรมของทราย หรือ กรวด และ ดินเหนียวประเภท Over Consolidated Clays

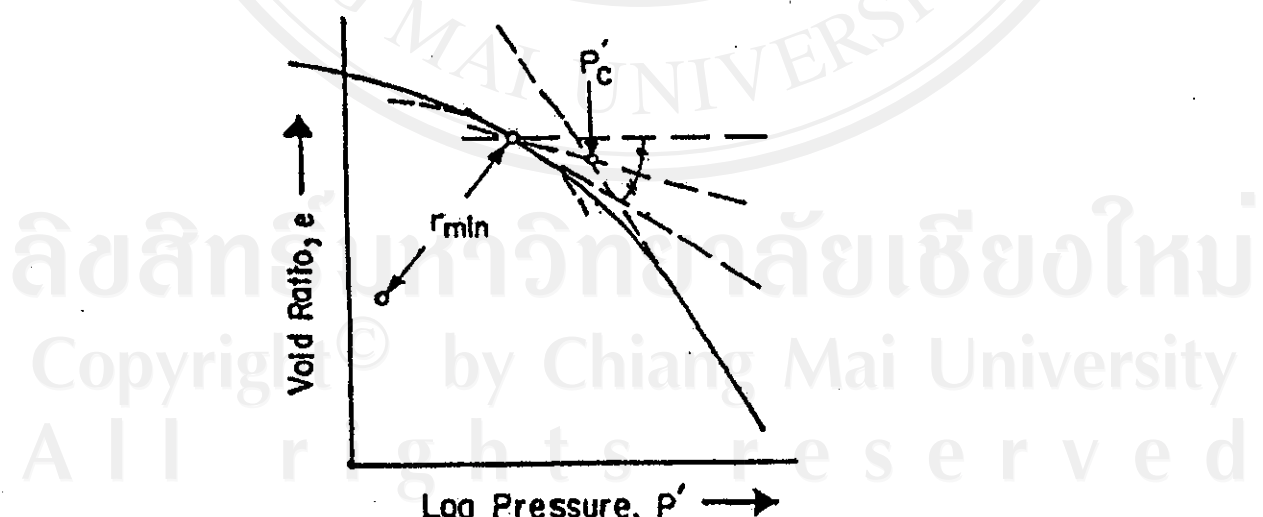
4. Soft Soil Model เป็นแบบจำลองของ Cam - Clays Model โดยจำลองพฤติกรรมของดินอ่อน ประเภท Normally Consolidated แบบจำลองนี้จะใช้ได้กับการหาค่า การอัดตัวครั้งแรก (Primary Compressing)

5. Soft Soil Creep Model เป็นแบบจำลองชนิด Visco Plasticity ซึ่งสามารถใช้หาพฤติกรรมการเคลื่อนตัวของดิน ที่ขึ้นกับเวลา ในดินอ่อน ได้

#### 2.1.6 การหาค่าหน่วยแรงกดทับสูงสุดในอดีตของดิน

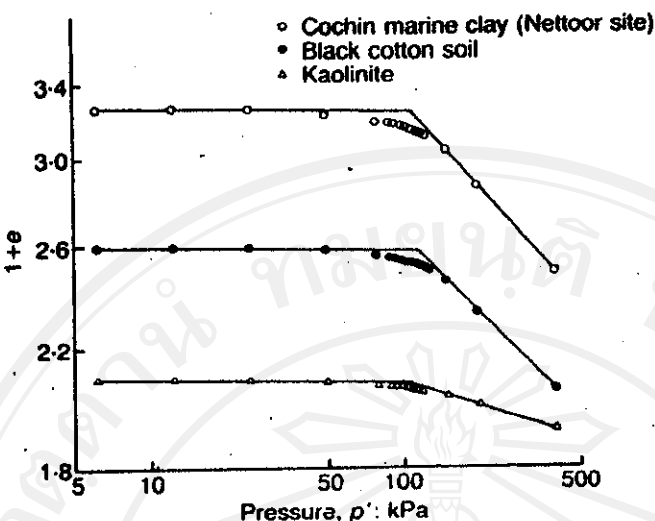
การหาค่าหน่วยแรงกดทับสูงสุดในอดีตของดิน (Preconsolidation Pressure,  $P'_c$ ) ทั่วไปนิยมใช้วิธีการของ Casagrande (1936) โดยใช้เส้นโลγความสัมพันธ์ระหว่างค่าอัตราส่วนซึ่งว่างในมวลดินกับ log ของความดันซึ่งได้จากการทดสอบการอัดตัวคายน้ำ หากลากเส้นตรงในแนวราบและเส้นสัมผัสที่จุดที่มีความโลγมากที่สุด แล้วแบ่งครึ่งมุมของเส้นทั้งสองแล้วต่อส่วนที่เป็นเส้นตรงมาตัดกับเส้นแบ่งครึ่งมุมดังกล่าวทุกที่ได้คือ  $P'_c$  แสดงดังรูปที่ 2.18

Sridharan, A., Abraham, B. M. and Jose, B. T. (1991) เสนอวิธีการหาค่าหน่วยแรงกดทับสูงสุดในอดีตของดินโดยการพล็อตข้อมูลระหว่าง ปริมาตรจำเพาะ (Specific Volume) กับแรงดัน (Pressure) ในมาตรฐาน Logarithm ทั้งสองแกน แล้วลากเส้นตรง 2 เส้นในช่วง Pre - yield และ Post - yield จุดตัดกันคือค่า  $P'_c$  แสดงดังรูปที่ 2.19



รูปที่ 2.18 การหาค่า  $P'_c$  วิธี Casagrande

ที่มา : ชิดชัย (2528)



รูปที่ 2.19 แสดงการหาค่า  $p'_c$  วิธีของ Sridharan et al. (1991)

ที่มา : Sridharan et al. (1991)

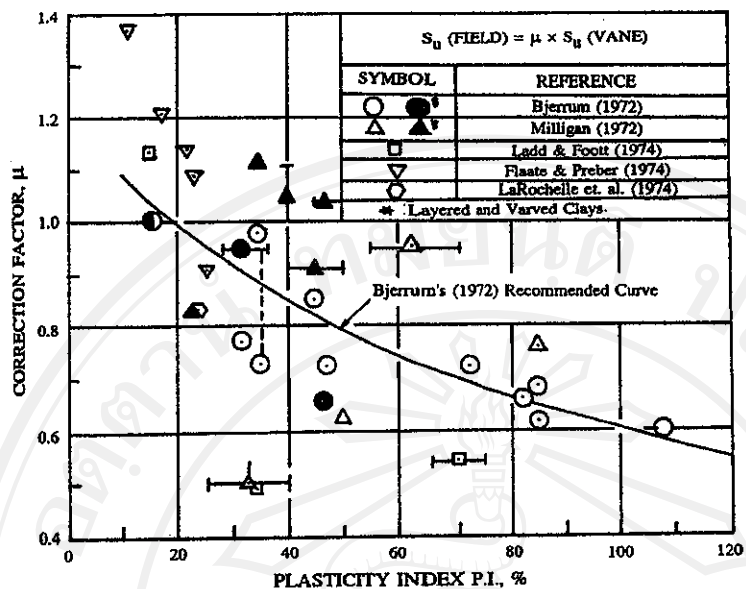
### 2.1.7 การแปลงการทดสอบแรงดึงในที่ด้วยใบพัด

การทดสอบแรงดึงในที่ด้วยใบพัด (Field Vane Shear Test) ทำโดยการกดใบมีดแผ่นเหล็กบางๆรูปสี่เหลี่ยมซึ่งมี 4 แฉกเขื่อนติดกันลงไปในชั้นดินที่ต้องการทดสอบแล้วทำการหมุนเพื่อวัดหน่วงแรงที่เกิดขึ้นจนกระทั่งดินแน่นขึ้นและวัดผลการวินิจฉัยได้ค่า  $S_{uv}$

Bjerrum (1972) พบว่าคินเนนใหญ่อ่อนและคินเนนใหญ่แข็งปานกลางที่มีค่า PI มากกว่า 20 % มีค่า  $S_{uv}$  ที่สูงเกินไป จึงเสนอค่าปรับแก้ ( $\mu$ ) กับค่า  $S_{uvFV}$  เพื่อใช้ในการวิเคราะห์เสถียรภาพของคินเนนใหญ่ดังสมการที่ 2.23

$$S_u = \mu \cdot S_{uvFV} \quad (2.23)$$

ค่าปรับแก้ ( $\mu$ ) ของคินเนนใหญ่กรุงเทพอยู่ระหว่าง 0.70 – 0.85 Eide and Holmberg (1972) ใช้ในการออกแบบถนนสายบanga – ตราด และ บัณฑิต (2529) ได้ใช้ในการวิเคราะห์การวินิจฉัยคันทางในกรุงเทพจำนวน 4 แห่ง พนักงานวิศวกรรม Bjerrum (1972) ให้ผลที่ดี



รูปที่ 2.20 ค่าปรับแก้ ( $\mu$ ) ของ Bjerrum (1972)

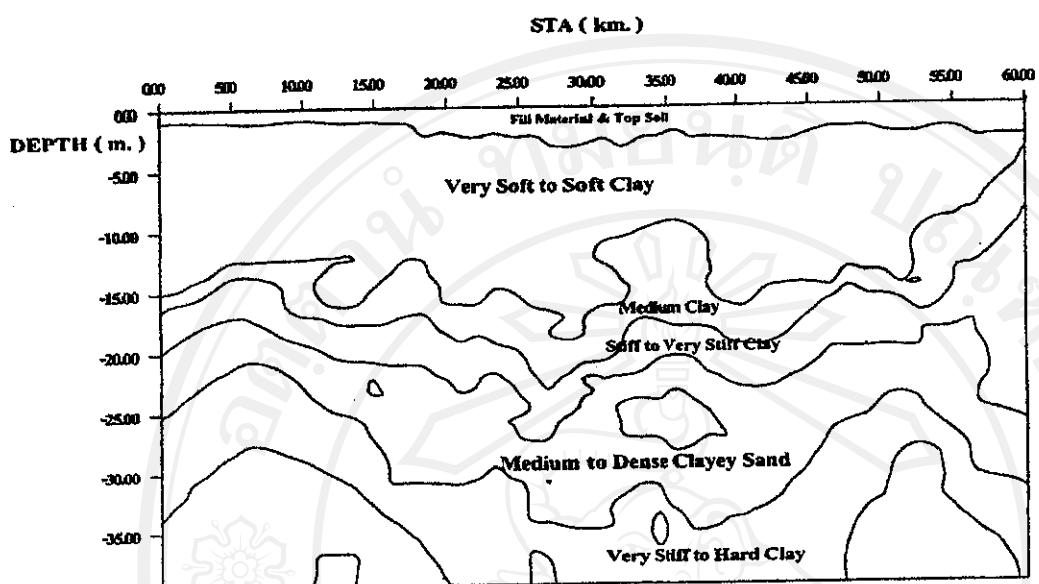
ที่มา : สูรฉัตร (2540)

## 2.2 ลักษณะสภาพชั้นดินและคุณสมบัติของดิน

### 2.2.1 ลักษณะสภาพชั้นดินและคุณสมบัติของดินหนี่ยวกรุ่งเทพ

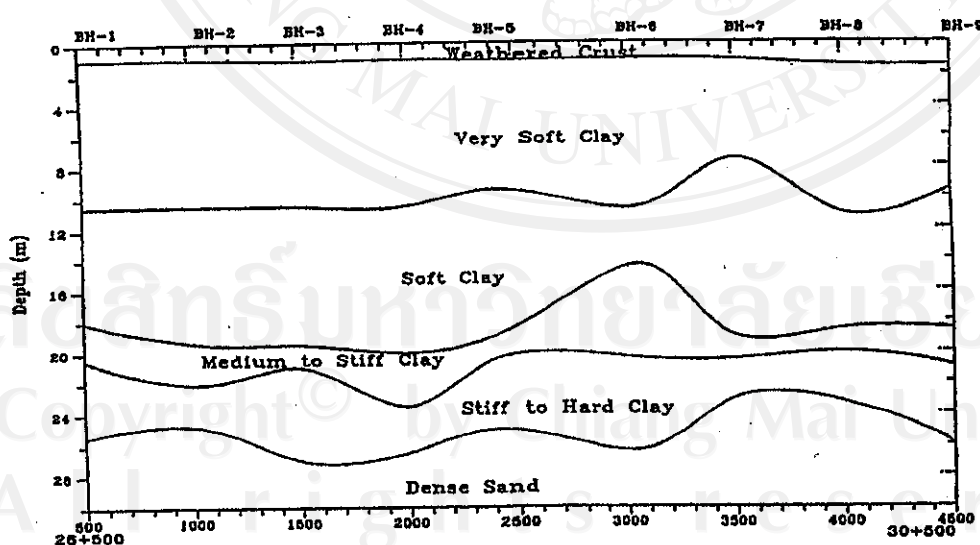
#### ก. ลักษณะสภาพชั้นดิน

การศึกษาลักษณะชั้นดินของถนนสายกรุงเทพฯ-ชลบุรี (สายใหม่) ตอน 1-A/1 และทางหลวงหมายเลข 34 สายกรุงเทพ - ชลบุรี โดยพลัง (2542) และจอม (2543) ตามลำดับ สามารถแบ่งชั้นดินได้ 4 ชั้นคือ ชั้น Weather Crust หนาประมาณ 1.5 - 3.0 เมตร ชั้น Very Soft to Soft Clay หนาประมาณ 8.5 - 13.0 เมตร ชั้น Medium to Stiff Clay หนาประมาณ 2.0 - 5.5 เมตร และชั้น Stiff to Very Stiff Clay หนาประมาณ 3.0 เมตร แสดงดังรูปที่ 2.21 และ 2.22



รูปที่ 2.21 แสดงลักษณะสภาพชั้นดินของทางหลวงหมายเลข 34 สายกรุงเทพ-ชลบุรี

ที่มา : จอม (2543)



รูปที่ 2.22 แสดงลักษณะสภาพชั้นดินของทางหลวงสายกรุงเทพฯ-ชลบุรี (สายใหม่) ตอน 1-A/1

ที่มา : พลัง (2542)

### ข. คุณสมบัติขั้นพื้นฐาน (Basic Soil Properties) ของดิน

คุณสมบัติขั้นพื้นฐาน (Basic Soil Properties) ของชั้นดินเหนียวอ่อน (Soft Clay) ชั้นดินเหนียวปานกลาง (Medium Clay) และชั้นดินเหนียวแข็ง (Stiff Clay) บริเวณดังกล่าวพบว่า หน่วยน้ำหนัก ( $\gamma$ ) อยู่ระหว่าง 1.4 – 2.0 ตัน/ลบ.ม. ความชื้นในดิน ( $w_s$ ) อยู่ระหว่าง 20.0 – 120.0 % ค่า Liquid Limit อยู่ระหว่าง 60 – 120 % Plastic Limit อยู่ระหว่าง 20 – 50 % คุณสมบัติขั้นพื้นฐานในสายทางข้างต้นสามารถสรุปได้ดังตารางที่ 2.1 และ 2.2

ตารางที่ 2.1 ลักษณะชั้นดินและคุณสมบัติขั้นพื้นฐานของถนนสายกรุงเทพฯ – ชลบุรี

(สายใหม่) ตอน 1-A/1

ชั้นดิน	ความลึก (m.)	$\gamma_t$ (t/m. <sup>3</sup> )	$w_s$ (%)	LL. (%)	PL. (%)
1. Weather Crust	0–1.5	1.73	50	60	30
2. Very Soft to Soft Clay	1.5–10.0	1.53	80-100	100	30-40
3. Medium Stiff Clay	10.0–15.5	1.63	40-80	80-100	35-40
4. Stiff to Very Stiff Clay	15.5–18.5	1.83–1.94	30-40	60-70	25-30

ที่มา : พลัง (2542)

ตารางที่ 2.2 ลักษณะชั้นดินและคุณสมบัติขั้นพื้นฐานของทางหลวงหมายเลข 34

สายกรุงเทพฯ - ชลบุรี

ชั้นดิน	ความลึก (m.)	$\gamma_t$ (t/m. <sup>3</sup> )	$w_s$ (%)	LL. (%)	PL. (%)
1. Weather Crust	0–3.0	1.6–1.7	20.0-85.7	-	-
2. Very Soft to Soft Clay	3.0–16.0	1.4–1.7	102-120	70-120	20-45
3. Medium Stiff Clay	16.0–18.0	1.5–1.8	65.8-85.7	70-90	30-50
4. Stiff to Very Stiff Clay	18.0-21.0	1.75-2.0	20.2-30.0	-	-

ที่มา : จอม (2543)

Ahmed (1975), Tonyagate (1978), Parentela (1983) และ Kristanto (1986) ได้ทดสอบและรวบรวมคุณสมบัติขั้นพื้นฐาน (Basic Soil Properties) ของดินเหนียวแข็ง (Stiff Clay) กรุงเทพฯ พบว่าหน่วยน้ำหนัก ( $\gamma$ ) อยู่ระหว่าง 1.9 – 2.15 ตัน/ลบ.ม. ความชื้นในดิน ( $w_s$ ) อยู่ระหว่าง

20 - 30 % ค่า Liquid Limit อยู่ระหว่าง 30 – 57.8 % ค่า Plastic Limit อยู่ระหว่าง 30 - 30 % ค่า Plastic Index อยู่ระหว่าง 10 – 36.1 % ค่าอัตราส่วนซ่องว่างในดิน ( $e_0$ ) อยู่ระหว่าง 0.6 – 0.8 ค่าความถ่วงจำเพาะอยู่ระหว่าง 2.63 – 2.75 คุณสมบัติขั้นพื้นฐานของดินเหนียวแข็งกรุงเทพสามารถสรุปได้ดังตารางที่ 2.3

ตารางที่ 2.3 แสดงคุณสมบัติขั้นพื้นฐานของดินเหนียวแข็งกรุงเทพ

ผู้ศึกษา	$\gamma_c$ (t/m. <sup>3</sup> )	$w_u$ (%)	LL.	PL.	PI	$e_0$	$G_s$
1. Ahmed (1975)	-	20-24	44-48	17-21	17-21	-	2.74
2. Tonyagate (1978)	1.9-2.3	20-30	30-50	15-30	10-30	0.60-0.80	2.65-2.75
3. Parentela (1983)	1.98	23.5	57.8	21.7	36.1	-	2.63
4. Kristanto (1986)	1.91-2.15	21-26	43-47	18-22	17-21	0.60-0.73	2.70-2.74

#### ค. คุณสมบัติด้านกำลังของดินเหนียว

Ali (1981), เพ่าพงศ์ (2526), ประเสริฐ (2535), พลัง (2542) และจอม (2543) ได้ทดสอบคุณสมบัติด้านกำลังของดินเหนียวอ่อนกรุงเทพ พบว่า ค่ากำลังรับแรงเฉือนแบบไม่ระบายน้ำ ( $S_u$ ) อยู่ระหว่าง 0.9 – 1.99 ตัน/ตร.ม. ค่าโมดูลัสแบบไม่ระบายน้ำ ( $E_u$ ) อยู่ระหว่าง 111 – 450 ตัน/ตร.ม. ค่ามุมเสียดทาน ( $\phi'$ ) และค่าความเชื่อมแน่น ( $c'$ ) อยู่ระหว่าง 17.25 – 27.40 องศา และ 0.6 – 2.14 ตัน/ตร.ม. ตามลำดับ คุณสมบัติด้านกำลังของดินเหนียวอ่อนกรุงเทพจากการวิจัยในอดีตสามารถสรุปได้ดังตารางที่ 2.4 และ 2.5

ตารางที่ 2.4 ค่ากำลังรับแรงเฉือนแบบระบายน้ำ ( $S_u$ ) และค่าโมดูลัสแบบระบายน้ำ ( $E_u$ ) ของดินเหนียวอ่อนกรุงเทพ

ผู้ศึกษา	$S_u$ (t/m. <sup>2</sup> )	$E_u$ (t/m. <sup>2</sup> )
1. ประเสริฐ (2535)	0.9-1.7	111-350
2. พลัง (2542)	1.02-1.52	204-304
3. จอม (2543)	1.26-1.43	140-260

ตารางที่ 2.5 ค่ามุมเสียดทาง ( $\phi'$ ) และค่าความเชื่อมแน่น ( $c'$ ) ของดินเหนียวอ่อนกรุงเทพ

ผู้ศึกษา	$c' (\text{t/m}^2)$	$\phi' (\text{deg})$
1. Ali (1981)	2.14	17.25
2. เพ่าพงศ์ (2526)	0.6	27.4
3. ประเสริฐ (2535)	0.12	24.0

Hengchaovanich (1970), Brand (1970), Ahmed (1970), Kristanto (1986) และ Kanjanapagka (1988) ได้ทดสอบคุณสมบัติต้านกำลังของดินเหนียวแข็งกรุงเทพ พบร่วมกับค่ามุมเสียดทาง ( $\phi'$ ) และค่าความเชื่อมแน่น ( $c'$ ) อยู่ระหว่าง 20.1 – 24.5 องศา และ 2.16 – 3.80 ตัน/ตร.ม. ตามลำดับ คุณสมบัติต้านกำลังของดินเหนียวแข็งกรุงเทพจากงานวิจัยในอดีตสามารถสรุปได้ดังตารางที่ 2.6

ตารางที่ 2.6 ค่ามุมเสียดทาง ( $\phi'$ ) และค่าความเชื่อมแน่น ( $c'$ ) ของดินเหนียวแข็งกรุงเทพ

ผู้ศึกษา	$c' (\text{t/m}^2)$	$\phi' (\text{deg})$
1. Hengchaovanich (1970)	3.31	22.2
2. Brand (1970)	2.28	21.6
3. Ahmed (1970)	3.80	24.0
4. Kristanto (1986)	2.30	24.5
5. Kanjanapagka (1988)	2.16	20.1

Balasubramaniam and Brenner (1981) ได้ทำการศึกษาความสัมพันธ์ระหว่างค่า Undrained Modulus ( $E_u$ ) กับค่าไม่ปรับแก้จากการทดสอบ Field Vane Shear Test ( $S_{uv}$ ) พบร่วมกับ  $E_u$  เท่ากับ 70 – 250 เท่าของ  $S_{uv}$

รายงานของ Bergado (1990) พบร่วมกับ 150 เท่าของ  $S_{uv}$  ให้ผลที่ดีกับการคำนวณการทรุดตัวของถนนบางนา – บางปะกง และค่า Drained Modulus ( $E'$ ) เท่ากับ 15  $S_u$  สามารถให้ผลที่ดีในการวิเคราะห์การทรุดตัวเวลาภายนาน (Longterm) ของถนนสายบางนา – บางปะกง

Poulos (1980) ได้แนะนำความสัมพันธ์ระหว่างค่าโมดูลัสของดิน ( $E_u$ ) สภาพไม่ระบายน้ำกับค่าโมดูลัสของดิน ( $E_{soil}$ ) สภาพระบายน้ำดังสมการที่ 2.25

$$E_u = \frac{3E'}{2(1 + v') \quad (2.25)}$$

เมื่อ  
 $E_u$  = โมดูลัสของดินในสภาพไม่ระบายน้ำ  
 $E'$  = โมดูลัสของดินในสภาพระบายน้ำ  
 $v'$  = Poisson's Ratio ในสภาพระบายน้ำ

Poulos (1980) ได้แนะนำค่า Poisson's Ratio ในสภาพระบายน้ำของดินเหนี่ยวอ่อนอยู่ระหว่าง 0.35 – 0.45 (0.4) และดินเหนี่ยวปานกลางอยู่ระหว่าง 0.2 – 0.35 (0.3)

#### ก. คุณสมบัติด้านการอัดตัวของดินเหนี่ยว

การศึกษาการทรุดตัวของกันทางบริเวณกรุงเทพของพลัง (2542), จอม (2543) และ Pongsakorn (2000) พบว่า ค่า  $C_c$  อยู่ระหว่าง 0.466 – 1.68 ค่า  $C_r$  อยู่ระหว่าง 0.032 – 0.30 ค่า  $c_v$  อยู่ระหว่าง 0.403 – 2.5 ตร.ม./ปี และ ค่า OCR อยู่ระหว่าง 1.03 – 2.40 สามารถสรุปคุณสมบัติการอัดตัวด้วยน้ำของดินเหนี่ยวอ่อนของงานวิจัยในอดีตดังตารางที่ 2.7

ตารางที่ 2.7 แสดงคุณสมบัติการอัดตัวของดินเหนี่ยวอ่อนกรุงเทพ

ผู้ศึกษา	$C_c$	$C_r$	$c_v$ (m. <sup>2</sup> /yr.)	OCR.
1. พลัง (2542)	0.57-1.68	0.04-0.30	0.403-1.036	1.03-1.33
2. จอม (2543)	0.54-1.62	0.02-0.04*	2.0-2.5	1.20-2.40
3. Pongsakorn (2000)	0.466-0.780	0.032-0.079	2.0-2.5	1.31-1.57

\* ค่า Recompression Ratio (RR)

จากการศึกษาคุณสมบัติการอัดตัวของดินเหนี่ยวแข็ง (Stiff Clay) กรุงเทพ โดย Tonyagate (1978), Rajivipat (1980) และ Parentela (1983) สามารถสรุปได้ดังตารางที่ 2.8

Cox (1968), Adikari (1977), Parentela (1983) และ สมศักดิ์ (2528) ได้ศึกษาความสัมพันธ์ของคุณสมบัติขั้นพื้นฐานของดินเหนี่ยวแข็งกรุงเทพกับค่า  $C_c$  และ CR ซึ่งสามารถความสัมพันธ์ต่างๆ แสดงดังตารางที่ 2.9

ความสัมพันธ์ระหว่างอัตราส่วนของค่า CR และค่า RR ของดินเหนียวทั่วไป (CR/RR) มีค่าประมาณ 5 – 10 (สูรนัตร, 2540)

ขอน (2543) ทำการทดสอบ Consolidation Test พบว่าค่าอัตราส่วนของ Compression Ratio (CR) ต่อ Recompression Ratio (RR) มีค่าเท่ากับ 10 และได้ใช้ในการคำนวณการหดตัวของดินใต้ก้นทางบริเวณถนนสายบางนา – ชลบุรี และจากการศึกษาพบว่าค่า  $c_{v,Field}$  ต่อค่า  $c_{v,Lab}$  มีค่าเท่ากับ 16.04

ตารางที่ 2.8 แสดงคุณสมบัติการอัดตัวคายน้ำของดินเหนียวดินเหนียวแข็งกรุงเทพฯ

ผู้ศึกษา	$C_c$	RR	$c_v \times 10^{-4} (\text{cm.}^2/\text{sec.})$	OCR.
1. Tonyagate (1978)	0.080-0.110	-	1-10	-
2. Rajivipat (1980)	0.050-0.300	-	-	-
3. Parentela (1983)	0.125-0.543	0.014-0.030	-	1.26-5.35

ตารางที่ 2.9 แสดงสมการความสัมพันธ์ระหว่างคุณสมบัติทางค้านกายภาพกับค่า  $C_c$  และ CR ของดินเหนียวแข็งกรุงเทพฯ

ผู้ศึกษา	สมการความสัมพันธ์
1. Cox (1968)	$C_c = 0.54 (2.6 w_n - 0.35)$ $CR = 0.0043 w_n$
2. Adikari (1977)	$C_c = 0.08 + 0.01 w_n$ $C_c = -0.11 + 0.47 e_0$ $C_c = -0.014 + 0.1 w_n$ $C_c = -0.28 + 0.012 LL$
3. Parentela (1983)	$C_c = 0.8602 e_0 - 0.2874$ $C_c = 0.0200 w_n - 0.2346$
4. สมศักดิ์ (2528)	$CR = 0.012 (PL-13.71)$

### จ. คุณสมบัติด้านการซึมน้ำของดินเหนียว

จากการวิจัยที่ศึกษาการทรุดตัวของคันทางในอดีตของ ยงยุทธ (2540), Pongsakorn (2000), Lorenzo (2001) และ Chai (2002) พบร่วมค่าสัมประสิทธิ์ความซึมน้ำในแนวตั้ง (Permeability,  $k_v$ ) ของดินเหนียวอ่อนอยู่ระหว่าง  $0.15 \times 10^{-4} - 29.32 \times 10^{-4}$  เมตร/ปี และคินเหนียวแข็งอยู่ระหว่าง  $0.045 \times 10^{-4} - 5.983 \times 10^{-4}$  เมตร/ปี นอกจากนี้ในการคำนวณการทรุดตัวผู้วิจัยในอดีตนิยมใช้ค่าสัมประสิทธิ์ความซึมน้ำในดิน แนวราบต่อแนวตั้ง ( $k_h/k_v$ ) เท่ากับ 2 ซึ่งค่าสัมประสิทธิ์ความซึมน้ำในดินจากงานวิจัยในอดีตสามารถสรุปได้ดังตารางที่ 2.10

ตารางที่ 2.10 ค่าสัมประสิทธิ์ความซึมน้ำในดินจากงานวิจัยในอดีต

ผู้วิจัย	สถานที่	$k_v \times 10^{-4}$ (m./day)		$k_h/k_v$
		Soft Clay	Stiff Clay	
1. ยงยุทธ (2540)	ชลบุรี - ปากท่อ	7.088-29.32	5.983	2
2. Pongsakorn (2000)	บางนา - บางปะกง	1.5	0.25	2
3. Lorenzo (2001)	บางนา - บางปะกง	0.15-0.5	0.045	2
4. Chai (2002)	จ. อุบลราชธานี	0.5-1.25	1.0	2

Nesarajah (1994) ศึกษาดินเหนียวกรุงเทพพบว่าความสัมพันธ์ของสัมประสิทธิ์ความซึมน้ำในแนวราบต่อแนวตั้ง ( $k_h/k_v$ ) อยู่ระหว่าง 2 – 5

อรรถสิทธิ์ และคณะ (2545) ได้ศึกษาดินเหนียวอ่อนกรุงเทพริเวณหาดวิทยาลัยธรรมศาสตร์ ศูนย์รังสิตจากการทดสอบ Consolidation Test พบร่วมค่า  $k_h/k_v$  อยู่ระหว่าง 1.1 - 2.5

ไตรภพ (2546) ได้ศึกษาดินเหนียวอ่อนกรุงเทพริเวณดอนเมืองและริเวณคลองเตยจากการทดสอบ Oedometer Test พบร่วมค่า  $k_h/k_v$  อยู่ระหว่าง 1.0 – 1.5

จอม (2543) และ Pongsakorn (2000) ได้ใช้ค่าสัมประสิทธิ์ความซึมน้ำในแนวราบต่อแนวตั้ง ( $k_h/k_v$ ) เท่ากับ 2 ใน การคำนวณการทรุดตัวของชั้นดินของทางหลวงหมายเลข 34 สาย บางนา - บางปะกง

### ฉ. ค่า Compression Modulus ของดินเหนียว

ค่า Compression Modulus ของดิน ( $M_{soil} = \Delta\sigma/\Delta\varepsilon$ ) ที่เป็น Overconsolidated สามารถประมาณได้จากความสัมพันธ์ของค่า Undrained Shear Strength ( $S_u$ ) ของดินรอบเสาเดินซึ่งเมนต์ได้จากการทดสอบ Field Vane Test มีค่าเท่ากับ  $250 S_u$  ส่วนดินที่เป็น Normally Consolidated หรือ

Slightly Overconsolidated ควรหาจาก การทดสอบ Consolidation Test จากการศึกษาดินเหนียวอ่อนกรุ่นเทพ ค่าความสัมพันธ์ที่ได้จากการทดสอบ  $M_{soil}$  เท่ากับ 150 เท่าของ  $S_u$  (Bergado, 1992)

#### ช. ค่า Modified Swelling Index ( $\kappa^*$ ) และ Modified ComPression Index ( $\lambda^*$ ) ของดินเหนียว

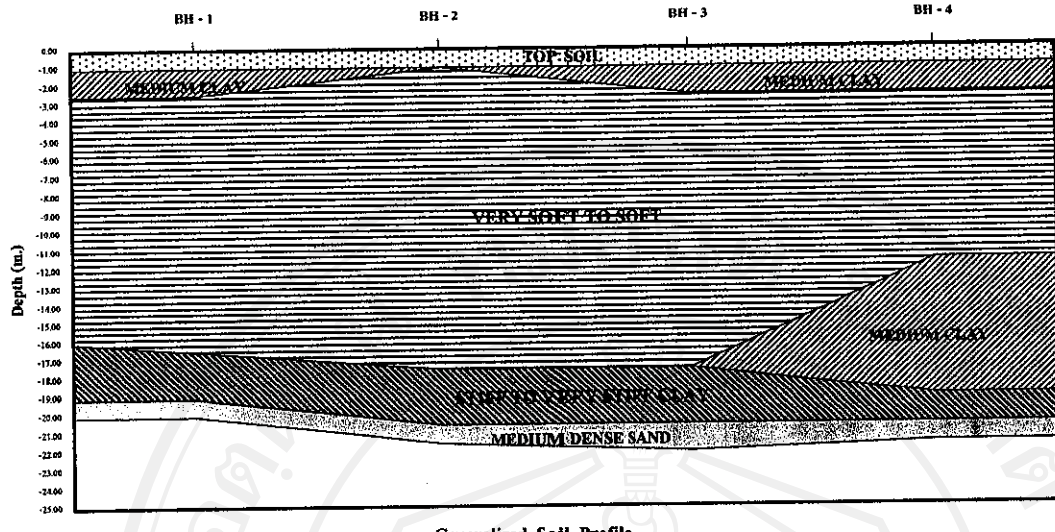
จากคู่มือการใช้โปรแกรม Plaxis ตัวแปรดิน  $\lambda^*$  และ  $\kappa^*$  สามารถหาได้จากการทดสอบ One - Dimensional Compression Test ซึ่งได้จากความสัมพันธ์ของตัวแปรดิน Compression Index ( $C_c$ ) และ Recompression Index ( $C_r$ ) นอกจากนี้ยังมีความสัมพันธ์กับ Dutch Parameter จาก One - Dimensional Compression ( $C'_p$  และ  $C_p$ ) และจากความสัมพันธ์ของตัวแปรดิน Cam – Clay ( $\lambda$ ,  $\kappa$ ) แสดงได้ดังตารางที่ 2.11

ตารางที่ 2.11 แสดงความสัมพันธ์ระหว่างตัวแปรดินต่างๆ กับ  $\lambda^*$ ,  $\kappa^*$

ความสัมพันธ์ของตัวแปร	$\lambda^*$	$\kappa^*$
Cam – Clay parameter	$\frac{\lambda}{1+e}$	$\frac{\kappa}{1+e}$
Dutch parameter	$\frac{1}{C_p}$	$\approx \frac{1-v_w}{1+v_w} \cdot \frac{3}{C_p}$
Internationally normalized parameters	$\frac{C_c}{2.3(1+e)}$	$\approx 1.3 \frac{1-v_w}{1+v_w} \cdot \frac{C_r}{1+e}$

#### 2.3 ลักษณะสภาพหินดินและคุณสมบัติของดินเหนียวของโครงการที่ศึกษา

การสำรวจดิน (Thanapol Teerana Co., Ltd., 2001) ของถนนสายทางเข้า-ออกทางด้านใต้ “ACCESS D” ของท่าอากาศยานสุวรรณภูมิ ช่วงความลึกประมาณ 20 เมตรสามารถจำแนกลักษณะหินดินได้ 4 ชั้นคือ ชั้น Weather Crust หนาประมาณ 1.0 เมตร ชั้น Medium Clay หนาประมาณ 1.5 เมตร ชั้น Very Soft to Soft Clay หนาประมาณ 15.0 เมตรและชั้น Stiff to Very Stiff Clay หนาประมาณ 3.0 เมตร แสดงดังรูปที่ 2.23



รูปที่ 2.23 แสดงลักษณะสภาพชั้นดินของถนนสายทางเข้า-ออกทางด้านใต้

“ACCESS D” ของท่าอากาศยานสุวรรณภูมิ

ที่มา : Thanapol Teerana Co., Ltd. (2001)

คุณสมบัติขั้นพื้นฐาน (Basic Soil Properties) ของชั้นดินเหนียวอ่อน (Soft Clay) ชั้นดินเหนียวปานกลาง (Medium Clay) และชั้นดินเหนียวแข็ง (Stiff Clay) พบว่า หน่วยน้ำหนัก ( $\gamma$ ) อยู่ระหว่าง 1.41 – 2.14 ตัน/ลบ.ม. ความชื้นในดิน ( $w_n$ ) อยู่ระหว่าง 15.2 – 96.0 % ค่า Liquit Limit อยู่ระหว่าง 42.6 – 80.2 % Plastic Limit อยู่ระหว่าง 22.9 – 37.7 % คุณสมบัติขั้นพื้นฐานของถนนสายทางเข้า-ออกทางด้านใต้ “ACCESS D” ของท่าอากาศยานสุวรรณภูมิสามารถสรุปได้ดังตารางที่ 2.12

ตารางที่ 2.12 คุณสมบัติทั่วไปของดินในสายทางเข้า – ออกทางด้านใต้

ของท่าอากาศยานสุวรรณภูมิ “ACCESS D”

ชั้นดิน	ความลึก (m.)	$\gamma_t$ (t/m. <sup>3</sup> )	$w_n$ (%)	LL. (%)	PL. (%)
1. Weather Crust	0-1.0	-	17.4	-	-
2. Medium Clay	1.0-2.5	1.5-1.62	54.0-56.0	44.4-61.5	23.0-37.7
3. Very Soft to Soft Clay	2.5-17.5	1.41-1.65	54.0-96.0	57.5-80.2	23.0-37.7
4. Stiff to Very Stiff Clay	17.5-21.0	2.05-2.14	15.2-23.2	42.6-57.4	22.9-28.9

บริเวณ กม. 0+815 และ กม. 1+550 พบว่าความหนาของชั้นดินเหนี่ยวแข็งหนา 3.0 เมตร คุณสมบัติของดินเหนี่ยวแข็งสามารถทดสอบได้ดังตารางที่ 2.13

คุณสมบัติด้านกำลังของดินเหนี่ยวพบว่าค่ากำลังรับแรงเฉือนแบบไม่ระบายน้ำ ( $S_u$ ) อยู่ระหว่าง 0.93 – 4.28 ตัน/ตร.ม. ค่าโมดูลัสแบบไม่ระบายน้ำ ( $E_u$ ) อยู่ระหว่าง 233 – 1070 ตัน/ตร.ม. คุณสมบัติด้านกำลังของดินเหนี่ยวสามารถทดสอบได้ดังตารางที่ 2.14

การทดสอบหาคุณสมบัติด้านการอัดตัวภายน้ำในสายทางเข้า – ออกรางด้านใต้ของท่าอากาศยานสุวรรณภูมิ “ACCESS D” พบว่า ค่า  $C_c$  อยู่ระหว่าง 0.799 – 1.184 ค่า CR อยู่ระหว่าง 0.241 – 0.397 ค่า  $c_v$  อยู่ระหว่าง 0.848 – 1.696 ตร.ม./ปี และ ค่า OCR อยู่ระหว่าง 0.954 – 2.898 สามารถสรุปคุณสมบัติการอัดตัวภายน้ำดินเหนี่ยวดังตารางที่ 2.15

ตารางที่ 2.13 คุณสมบัติของดินเหนี่ยวแข็งจากการสำรวจเบื้องต้น กม. 0+815 และ 1+550

กม.	ความลึก (m.)	$\gamma_t$ (t/m. <sup>3</sup> )	$w_n$ (%)	LL. (%)	PL. (%)	PI. (%)	SPT.
0+815	16.50-16.95	2.05	16	48.4	24.1	24.3	16
0+815	18.00-18.45	2.09	17.5	42.6	22.9	19.7	25
1+550	18.00-18.45	-	17.3	56.2	28.3	27.9	13
1+550	19.50-19.95	-	15.2	48.4	28.1	20.3	21

ตารางที่ 2.14 คุณสมบัติทางด้านกำลังของดินในสายทางเข้า – ออกรางด้านใต้ของท่าอากาศยานสุวรรณภูมิ “ACCESS D”

ชั้นดิน	ความลึก (m.)	$S_u$ (t/m. <sup>2</sup> )	$E_u$ (t/m. <sup>2</sup> )
1. Weather Crust	0-1.0	-	-
2. Medium Clay	1.0-2.5	1.74-2.83	233-708
3. Very Soft to Soft Clay	2.5-17.5	0.93-2.52	290-593
4. Stiff to Very Stiff Clay	17.5-21.0	2.65-4.28	663-1070

ตารางที่ 2.15 แสดงคุณสมบัติการอัดตัวของดินในสายทางเข้า – ออกทางด้านใต้

ของท่าอากาศยานสุวรรณภูมิ “ACCESS D”

กม.	ความลึก (m.)	$e_0$	$w_c$ (%)	$c_v$ ตร.ม./ปี	$c_c$	CR	OCR
0+815	3.00	2.31	80.2	1.357	0.799	0.241	2.898
	9.00	2.03	68.2	1.357	0.811	0.268	1.186
1+550	4.50	2.65	94.4	0.848	0.956	0.262	1.625
	10.50	2.45	84.2	1.696	1.089	0.316	1.155
2+000	7.50	1.98	64.0	1.357	1.184	0.397	2.550
	13.50	2.16	75.6	1.018	0.949	0.300	1.115
2+670	6.00	2.27	77.5	1.357	0.997	0.305	2.053
	12.00	2.14	72.3	1.696	0.943	0.300	0.954

## 2.4 เสาดินซีเมนต์ วัสดุดินตอนคันทาง และแบบจำลองของดิน

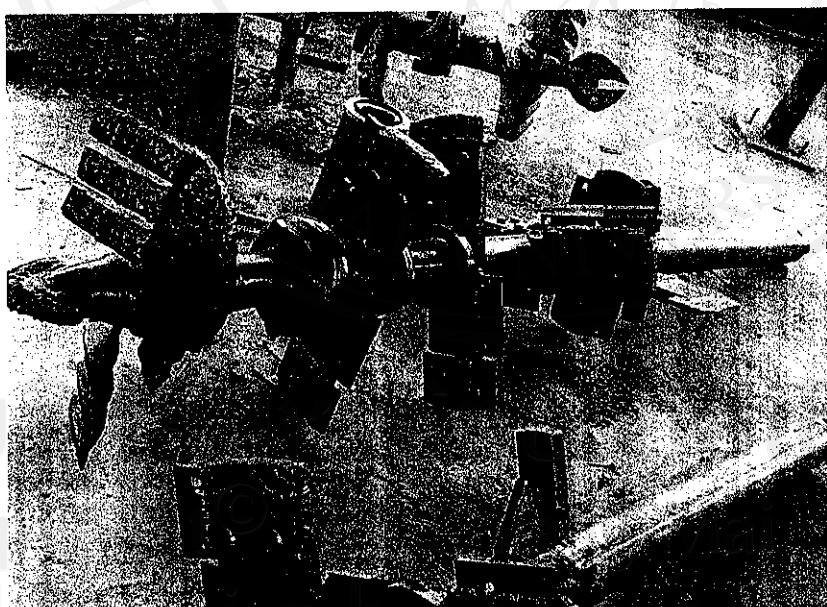
### 2.4.1 เสาดินซีเมนต์

#### ก. การก่อสร้างและควบคุมการก่อสร้างเสาดินซีเมนต์

การก่อสร้างเสาดินซีเมนต์ จะใช้เครื่องจักรปั่นหรือเจาะลงไปในชั้นดินตามความลึกที่ต้องการจากนั้นทำการถอนหัวเจาะพร้อมกับการผสมซีเมนต์ลงไปในดินระหว่างการถอน การทำงานของเครื่องจักรที่ก่อสร้างเสาดินซีเมนต์และลักษณะของก้านเจาะที่ใช้ในการก่อสร้างแสดงดังรูปที่ 2.24 และ 2.25 ตามลำดับ



รูปที่ 2.24 การทำงานของเครื่องจักรที่ก่อสร้างเสาดินซีเมนต์



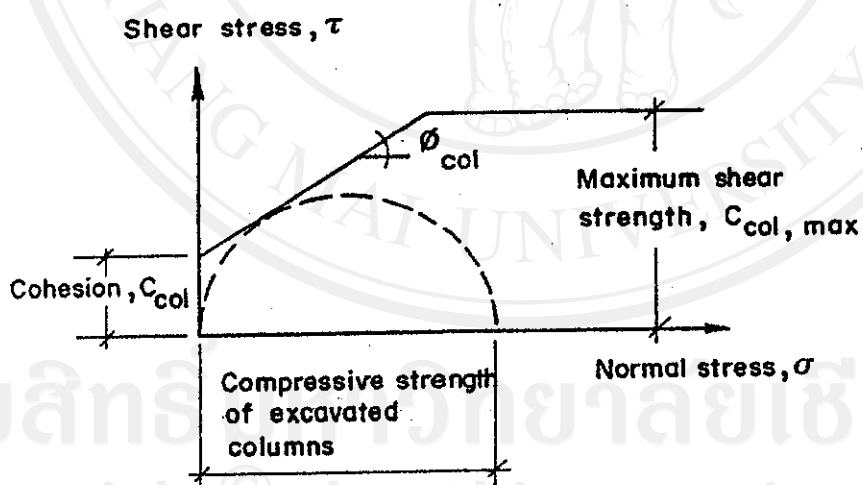
รูปที่ 2.25 ลักษณะของก้านเสาที่ใช้ในการก่อสร้างเสาดินซีเมนต์

หลังจากการก่อสร้างเสร็จจะทดสอบค่า Undrained Shear Strength ของดินซีเมนต์ในสถานที่โดยเก็บตัวอย่างต่อเนื่องไม่นานกว่า 1 เมตร ตลอดความลึกของเสาดินซีเมนต์ด้วย Piston Shelby Tube Sampler โดยค่า Undrained Shear Strength ที่อายุ 3 วัน หรือ 14 วัน หรือ 28 วัน จะต้องไม่น้อยกว่า 15 ตัน/ตร.ม. หรือ 20 ตัน/ตร.ม. หรือ 30 ตัน/ตร.ม. ตามลำดับ (กรณีได้ผลลัพธ์นั่ง) ถือว่าใช้ได้

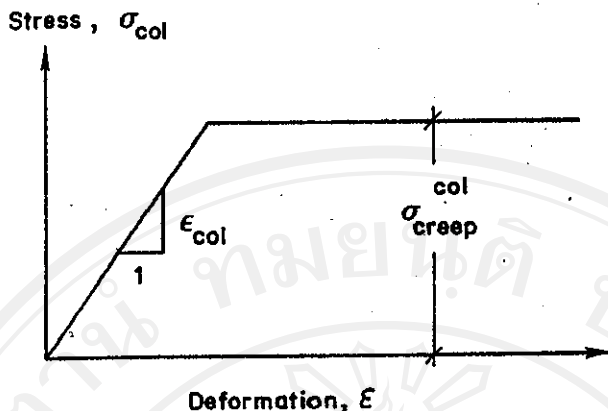
#### บ. ค่า Cohesion ( $c_{co}$ ) และ Friction Angle ( $\phi_{co}$ ) ของเสาดินซีเมนต์

Broms (1992) กล่าวว่าลักษณะพฤติกรรมของดินปรับปูรุ่งด้วยซีเมนต์ จะคล้ายกับ Stiff Fissured Clay ค่า Shear Strength สามารถหาได้จากการทดสอบ Unconfined Compression Test ซึ่งความต้านทานของ Failure Envelope ของดินที่ปรับปูรุ่งด้วยซีเมนต์แสดงได้ดังรูปที่ 2.26

การศึกษาของ Bergado et al. (1992) พบว่าโดยทั่วไปมุนเสียดทานของดินเหนียวอ่อนที่ปรับปูรุ่งด้วยซีเมนต์มีค่าประมาณ  $24^\circ$  -  $40^\circ$  การออกแบบนิยมใช้ค่ามุนเสียดทานของดินเหนียวที่ปรับปูรุ่งด้วยซีเมนต์เท่ากับ  $30^\circ$  (Broms, 1999)



รูปที่ 2.26 แสดงแผนภาพที่สมมุติการวิบัติของดินที่ปรับปูรุ่งด้วยซีเมนต์  
ที่มา : Broms (1984)



รูปที่ 2.27 แสดงแผนภาพที่สมมุติความสัมพันธ์ระหว่าง Stress-Strain ของดินที่ปรับปรุงด้วยซีเมนต์  
ที่มา : Broms (1984)

#### ค่า *Compression Modulus* ของเสาดินซีเมนต์ ( $M_{col}$ )

ค่า *Compression Modulus* ของเสาดินซีเมนต์ ( $M_{col}$ ) หาได้โดยตรงจากการทดสอบ Consolidation Test ในกรณีที่ความสัมพันธ์ของ Stiffness ของเสาดินซีเมนต์กับดินรอบเสาดินซีเมนต์มีผลทำให้น้ำหนักกระทำที่ผ่านลงมากจากแข็งตัวไปบริเวณปลายเสาเข้ม ค่า  $M_{col}$  จะมีค่าอยู่ระหว่าง 50 ถึง 100 เท่าของ  $c_{col}$  (ค่า Cohesion ของดินปรับปรุงด้วยซีเมนต์) โดยทั่วไปในการคำนวณการหดตัว  $M_{col}$  มีค่าประมาณ 15 - 25 MPa. (20 MPa.) (Bergado, 1992)

Broms (1999) แนะนำค่า *Compression Modulus* ของเสาดินซีเมนต์ ( $M_{col}$ ) สามารถคำนวณได้จากโมดูลัสยึดหยุ่นของเสาเข้ม ( $E_{col}$ ) และอัตราส่วนบัวของ ( $V_{col}$ ) ของดินซีเมนต์ดังสมการที่ 2.26

$$M_{col} = \frac{E_{col} (1 - V_{col})}{(1 + V_{col})(1 - 2V_{col})} \quad (2.26)$$

Broms (1992) กล่าวว่าลักษณะของดินซีเมนต์มีลักษณะคล้ายกับ Stiff Fissured Clay

Budhu (2000) ได้แนะนำอัตราส่วนบัวของ ( $V$ ) ของดินเหนียวแข็ง (Stiff Clay) ในสภาพระบบทาน้ำอยู่ระหว่าง 0.2 - 0.3 (0.25)

### ๔. ค่าสัมประสิทธิ์ความชื้นน้ำของเสาดินซีเมนต์

โดยทั่วไปค่าความชื้นน้ำของเสาดินซีเมนต์ ( $k_{col}$ ) มีค่าสูงกว่าค่าความชื้นน้ำของดินที่ไม่ได้ปรับเสถียรภาพบริเวณรอบข้าง ข้อมูลจากการศึกษาของ Broms (1992) พบว่าค่าความชื้นน้ำของเสาดินปูนขาวมีค่าเพิ่มขึ้น 100 – 1000 เท่าของดินที่ไม่ได้มีการปรับเสถียรภาพ ดังนั้นเสาดินซีเมนต์จึงเป็นปัจจัยหนึ่งที่มีผลต่อการระบายน้ำในดิน อย่างไรก็ตามดินเหนียวพัฒนาซีเมนต์ส่วนใหญ่จะมีค่าความชื้นได้น้อยกว่า 100 เท่า (Pongsakorn, 2000)

Lorenzo (2001) ได้ศึกษาดินเหนียวกรุงเทพพัฒนาซีเมนต์พบว่าค่าสัมประสิทธิ์ความชื้นน้ำของดินซีเมนต์มีค่าสูงกว่าดินที่ไม่ได้ปรับเสถียรภาพ และพบว่าปริมาณซีเมนต์เพิ่มมากขึ้นค่าความชื้นได้จะเพิ่มมากขึ้น

Lorenzo (2001) ได้ใช้วิธีไฟไนต์เอลิเมนต์ วิเคราะห์อัตราการทรุดตัวของคันทางปรับปรุงดินฐานรากด้วยเสาดินซีเมนต์ของถนนสาย บางนา – บางปะกง โดยใช้อัตราส่วนของค่าความชื้นน้ำของเสาดินซีเมนต์ต่อค่าความชื้นน้ำของดินในแนวตั้ง ( $k_{col}/k_{soil,v}$ ) ช่วงระหว่าง 10 – 30 พบว่าให้ความสัมพันธ์ที่ดีกับข้อมูลสถานะและแนะนำค่า  $k_{col}/k_{soil,v}$  เท่ากับ 30 ในกรณีวัสดุอัตราการทรุดตัวของคันทางที่ปรับเสถียรภาพด้วยเสาดินซีเมนต์

Chai (2002) และ สมโชค (2545) ใช้ค่า  $k_{col}/k_{soil,v}$  เท่ากับ 30 ในการวิเคราะห์การทรุดตัวของดินคันทางเสริมแรงด้วย Hexagonal Wire Mesh พบว่าให้ความสัมพันธ์ที่ดีกับข้อมูลในสถานะ

#### 2.4.2 วัสดุดินอันดับทาง

Hausmann (1990) รวมรวมข้อมูลรายແ愧่น ญ. ช่วง 1.8 – 2.0 ตัน/ลบ.ม. มี Density Index 60 – 85 % มีมุมเสียดทานภายในอยู่ระหว่าง 35 - 38<sup>0</sup>

Bersabe (1992) ทดสอบคุณสมบัติทรัพย์อยุธยาพบว่าค่า Relative Density ( $D_r$ ) 70 – 90 % มีมุมเสียดทานภายในเท่ากับ 34.6 – 38.7<sup>0</sup> (CID) และทำการทดสอบ Compaction Test (Modified Proctor) ได้ค่า  $\gamma_{d,max}$  เท่ากับ 1.776 ตัน/ลบ.ม. OMC เท่ากับ 12.58 % และค่า Permeability อยู่ระหว่าง  $0.87 \times 10^{-4}$  -  $4.03 \times 10^{-4}$  ซม./วินาที

Bowles (1996) รวมรวมคุณสมบัติของทรัพย์และกรวดโดยแนะนำค่า Poisson's ratio (V) อยู่ระหว่าง 0.3 - 0.4 ในทรัพย์และกรวดແ愧่น ค่า Modulus ( $E_s$ ) อยู่ระหว่าง 100 - 200 เมกะปascal ก้าล และในทรัพย์ແ愧่นค่า Modulus ( $E_s$ ) อยู่ระหว่าง 50 - 81 เมกะปascal

ยงยุทธ (2540) ใช้ Poisson's ratio ( $\nu$ ) ของทรายบดอัดและหินคลุกเท่ากับ 0.3 และใช้ค่า Modulus ( $E_s$ ) ของหินคลุกและทรายบดอัดเท่ากับ 100,000 กิโลปascals และ 5,000 กิโลปascals ตามลำดับ ในการคำนวณการทรุดตัวของของถนนพะรำมที่ 2 (ชนบูรี – ปากท่อ)

สุรัณตร (2540) ได้รวมรวมคุณสมบัติดินบดอัดจาก NAVFAC D.M 7.1 สรุปได้ว่าในดินพาก GW ค่า CBR ช่วง 40-80 % ค่ามุมภายใน ( $\phi$ ) จะมากกว่า  $38^{\circ}$  Cohesion เท่ากับ 0 ตัน/ตร.ม. Coefficient of Permeability ( $k_v$ ) เท่ากับ 21.6 เมตร/วัน ในดินพาก SW ค่า CBR ช่วง 20 – 40 % ค่ามุมภายใน ( $\phi$ ) เท่ากับ  $38^{\circ}$  Cohesion เท่ากับ 0 ตัน/ตร.ม. Coefficient of Permeability ( $k_v$ ) มากกว่า 0.432 เมตร/วัน และแนะนำค่า Poisson's ratio ( $\nu$ ) ของทรายอัดแน่นมีค่าอยู่ระหว่าง 0.2 - 0.4

Pongsakorn (2000) ใช้ Poisson's ratio ( $\nu$ ) ของทรายบดอัดและหินคลุกเท่ากับ 0.3 ใน การคำนวณการทรุดตัวของของถนนบางนาบาง – ปากง

#### 2.4.3 คุณสมบัติและแบบจำลองดิน

จากการศึกษาการทรุดตัวของดินคันทางปรับเสถียรภาพด้วยเสิดินซีเมนต์ โคเบิร์ฟไนต์ เอกิเมนต์บริเวณกรุงเทพฯ ของ Pongsakorn (2000), Lorenzo (2001) และ Chai (2002) สามารถสรุปตัวแปรดินที่ใช้ในการวิเคราะห์ได้ดังตารางที่ 2.16 - 2.18

ตารางที่ 2.16 แสดงแบบจำลองและตัวแปรติดพื้นในการวิเคราะห์การทรุดตัวรั่วในต่ำลิมนต์ บนสามายางน้ำ - บังปะกง โครงการฯ 3

Depth (m.)	Description	Model	$\gamma_{\text{wet}}$ kN/m. <sup>3</sup>	$\gamma_{\text{dry}}$ kN/m. <sup>3</sup>	$c'$ kN/m. <sup>2</sup>	$\phi'$	$\lambda^*$	$K^*$	$E'_{\text{ref}}$ kN/m. <sup>2</sup>	$V$	$k_x$ m./day	$k_y$ m./day
0-2	Weathered Crust	SSM	17.5	14	1	20	0.065	0.007	-	-	9E-4	4.5E-4
2-19	Soft Clay	SSM	14	6.5	1	22	0.174	0.017	-	-	3E-4	1.5E-4
19-25	Medium Clay	SSM	16	11	1	22.5	0.087	0.009	-	-	1E-4	5E-5
25-27	Stiff Clay	SSM	18	15	1	23	0.043	0.004	-	-	5E-5	2.5E-5
2.5 (Thick)	Sand Layer	MCM	20	18	1	30	-	-	10000	0.3	1000	1000
12 (Long)	Cement Column	MCM	14	9.5	300	30	-	-	30000	0.25	9E-4	4.5E-4

ที่มา : Pongsakorn (2000)

ตารางที่ 2.17 แสดงแบบจำลองและตัวแปร kinematic ในการวิเคราะห์การทรุดตัวรัศมีไฟน์ต่ออิฐเมท บนมาตรฐานงาน - บางปะกง

Depth (m.)	Description	Model	$\gamma_{wet}$ kN/m. <sup>3</sup>	OCR	c' kN/m. <sup>2</sup>	$\phi'$	$\lambda^*$	$K^*$	$E'_{ref}$ kN/m. <sup>2</sup>	v	$k_y$ m./day
0-16.5	Soft Clay	SSM	14	1.2	1	22	0.15-0.2	0.03-0.04	250-350	-	0.000015-0.00005
16.5-18.5	Medium Stiff Clay	HSM	16	2.0	1	22	-	-	2500-3000	0.25	0.00001
18.5-23.0	Medium Stiff Clay with Seam of Fine Sand	MCM	17.5	-	1	23	-	-	3500-4500	0.25	0.00035
23.0-25.5	Stiff Clay	HSM	17.5	4.5	1	23	-	-	7000-9000	0.25	0.000045
2.5 (Thick)	Sand Layer	MCM	20	-	1	30	-	-	5600	0.33	10000
12 (Long)	Soil-Cement	MCM	14	-	300	28-30	-	-	20000-30000	0.33	Variable

ที่มา : Lorenzo (2001)

ตารางที่ 2.18 แสดงแบบจำลองและตัวแปรติดตามที่ใช้ในการวิเคราะห์การพัฒนาด้วยโมเดลกึ่งempirical ของคันทรากอง

Depth (m.)	Description	Model	$\gamma_{\text{wet}}$ kN/m. <sup>3</sup>	OCR	$c'$ kN/m. <sup>2</sup>	$\phi^*$	$\lambda^*$	$K^*$	$E^*_{\text{ref}}$ kN/m. <sup>2</sup>	$V$	$k_x$ m./day	$\cdot k_y$ m./day
0-1.5	Weathered Crust	SSM	17	1.0	10	23	0.13	0.026	-	0.33	2.5E-4	1.25E-4
1.5-2.5	Medium Clay	MC	16	2.91	30	28	-	-	5000	0.25	1.5E-4	0.75E-4
2.4-4	Soft Clay	SSM	14.8	1.40	10	23	0.13	0.026	-	0.33	1E-4	0.5E-4
4-6	Soft Clay	SSM	14.8	1.33	10	23	0.13	0.026	-	0.33	1E-4	0.5E-4
6-9	Stiff Clay	SSM	15.2	1.40	10	23	0.13	0.026	-	0.33	1E-4	0.5E-4
9-12	Sand	Elastic	15.2	-	15	23	-	-	8000	0.3	2E-4	1.0E-4
12-16	Sand	Elastic	16	-	-	-	-	-	10000	0.25	2E-4	1.0E-4
16-20	Sand	Elastic	16	-	-	-	-	-	10000	0.25	2E-4	1.0E-4
2.5 (Thick)	Sand Layer	MCM	17.1	-	1	30	-	-	6000	0.33	100E-4	100E-4
12 (Long)	Cement Column	MCM	18	-	300	30	-	-	30000	0.25	15E-4	15E-4

ที่มา : Chai (2002)